

# Technische Information / Technical Information

**eupc**

Netz-Thyristor  
Phase Control Thyristor

**T 1039 N 18...22**

N 

## Elektrische Eigenschaften / Electrical properties

### Höchstzulässige Werte / Maximum rated values

Periodische Vorwärts- und Rückwärts-Spitzenperrspannung repetitive peak forward off-state and reverse voltages	$T_{vj} = -40^\circ C \dots T_{vj\max}$	$V_{DRM}, V_{RRM}$	1800, 2000 2200	V V
Vorwärts-Stoßspitzenperrspannung non-repetitive peak forward off-state voltage	$T_{vj} = -40^\circ C \dots T_{vj\max}$	$V_{DSM}$	1800, 2000 2200	V V
Rückwärts-Stoßspitzenperrspannung non-repetitive peak reverse voltage	$T_{vj} = +25^\circ C \dots T_{vj\max}$	$V_{RSM}$	1900, 2100 2300	V V
Durchlaßstrom-Grenzeffektivwert RMSM on-state current		$I_{TRSMSM}$	2200	A
Dauergrenzstrom average on-state current	$T_C = 85^\circ C$ $T_C = 62^\circ C$	$I_{TAVM}$	1039 1400	A A
Stoßstrom-Grenzwert surge current	$T_{vj} = 25^\circ C, t_p = 10 \text{ ms}$ $T_{vj} = T_{vj\max}, t_p = 10 \text{ ms}$	$I_{TSM}$	21.500 18.500	A A
Grenzlastintegral $I^2t$ -value	$T_{vj} = 25^\circ C, t_p = 10 \text{ ms}$ $T_{vj} = T_{vj\max}, t_p = 10 \text{ ms}$	$I^2t$	2.311 1.711	$A^2 \cdot s \cdot 10^3$ $A^2 \cdot s \cdot 10^3$
Kritische Stromsteilheit critical rate of rise of on-state current	DIN IEC 747-6 $f=50 \text{ Hz}, V_L = 10 \text{ V}, i_{GM} = 1 \text{ A}$ $di_G/dt = 1 \text{ A}/\mu\text{s}$	$(di_T/dt)_{cr}$	200	$A/\mu\text{s}$
Kritische Spannungssteilheit critical rate of rise of off-state voltage	$T_{vj} = T_{vj\max}, V_D = 0,67 V_{DRM}$ 5.Kennbuchstabe / 5th letter F	$(dv_D/dt)_{cr}$	1000	$V/\mu\text{s}$

## Charakteristische Werte / Characteristic values

Durchlaßspannung on-state voltage	$T_{vj} = T_{vj\max}, i_T = 2000 \text{ A}$ $T_{vj} = T_{vj\max}, i_T = 1000 \text{ A}$	$V_T$	max. 1,530 max. 1,207	V V
Schleusenspannung threshold voltage	$T_{vj} = T_{vj\max}$	$V_{T(TO)}$	0,9	V
Ersatzwiderstand slope resistance	$T_{vj} = T_{vj\max}$	$r_T$	0,3	$m\Omega$
Durchlaßkennlinie on-state voltage	$T_{vj} = T_{vj\max}$ $v_T = A + B \times i_T + C \times \ln(i_T + 1) + D \times \sqrt{i_T}$	$A=0,8835$ $B=2,9753E-04$ $C=-6,7109E-03$ $D=2,2924E-03$		
Zündstrom gate trigger current	$T_{vj} = 25^\circ C, V_D = 6 \text{ V}$	$I_{GT}$	max. 250	mA
Zündspannung gate trigger voltage	$T_{vj} = 25^\circ C, V_D = 6 \text{ V}$	$V_{GT}$	max. 2,2	V
Nicht zündener Steuerstrom gate non-trigger current	$T_{vj} = T_{vj\max}, V_D = 6 \text{ V}$ $T_{vj} = T_{vj\max}, V_D = 0,5 V_{DRM}$	$I_{GD}$	max. 10 max. 5	mA mA
Nicht zündene Steuerspannung gate non-trigger voltage	$T_{vj} = T_{vj\max}, V_D = 0,5 V_{DRM}$	$V_{GD}$	max. 0,25	mV
Haltestrom holding current	$T_{vj} = 25^\circ C, V_D = 6 \text{ V}, R_A = 5 \Omega$	$I_H$	max. 300	mA
Einraststrom latching current	$T_{vj} = 25^\circ C, V_D = 6 \text{ V}, R_{GK} \geq 10 \Omega$ $i_{GM} = 1 \text{ A}, di_G/dt = 1 \text{ A}/\mu\text{s}$ $t_g = 20 \mu\text{s}$	$I_L$	max. 1200	mA
Vorwärts- und Rückwärts-Sperrstrom forward off-state and reverse currents	$T_{vj} = T_{vj\max}$ $V_D = V_{DRM}, V_R = V_{RRM}$	$i_D, i_R$	max. 160	mA
Zündverzug gate controlled delay time	DIN IEC 747-6 $T_{vj} = 25^\circ C$ $i_{GM} = 1 \text{ A}, di_G/dt = 1 \text{ A}/\mu\text{s}$	$t_{gd}$	max. 4	$\mu\text{s}$

# Technische Information / Technical Information

**eupc**

Netz-Thyristor  
Phase Control Thyristor

**T 1039 N 18...22**

N 

## Elektrische Eigenschaften / Electrical properties

Vorläufige Daten

### Charakteristische Werte / Characteristic values

Preliminary Data

Freiwerdezeit circuit commutation turn-off time	$T_{vj} = T_{vj \max}, i_{TM} = I_{TAVM}$ $v_{RM} = 100V, v_{DM} = 0,67 V_{DRM}$ $dv/dt = 20 V/\mu s, -di/dt = 10 A/\mu s$ 4. Kennbuchstabe / 4th letter O	$t_q$	typ.	300	$\mu s$
--	---	-------	------	-----	---------

## Thermische Eigenschaften / Thermal properties

Innerer Wärmewiderstand thermal resistance, junction to case	Kühlfläche / cooling surface beidseitig / two-sided, $\square=180^\circ\text{sin}$ beidseitig / two-sided, DC Anode / anode, $\square=180^\circ\text{sin}$ Anode / anode, DC Kathode / cathode, $\square=180^\circ\text{sin}$ Kathode / cathode, DC	$R_{thJC}$	max. 0,0231 max. 0,0210 max. 0,0395 max. 0,0375 max. 0,0500 max. 0,0480	$^\circ\text{C}/\text{W}$ $^\circ\text{C}/\text{W}$ $^\circ\text{C}/\text{W}$ $^\circ\text{C}/\text{W}$ $^\circ\text{C}/\text{W}$ $^\circ\text{C}/\text{W}$
Übergangs- Wärmewiderstand thermal resistance, case to heatsink	Kühlfläche / cooling surface beidseitig / two-sided einseitig / single-sided	$R_{thJK}$	max. 0,0035 max. 0,0070	$^\circ\text{C}/\text{W}$ $^\circ\text{C}/\text{W}$
Höchstzulässige Sperrschichttemperatur max. junction temperature		$T_{vj \ max}$	125	$^\circ\text{C}$
Betriebstemperatur operating temperature		$T_{c \ op}$	-40...125	$^\circ\text{C}$
Lagertemperatur storage temperature		$T_{stg}$	-40...150	$^\circ\text{C}$

## Mechanische Eigenschaften / Mechanical properties

Gehäuse, siehe Anlage case, see appendix			Seite 3 page 3	
Si-Element mit Druckkontakt Si-pellet with pressure contact				
Anpreßkraft clamping force		F	16...32	kN
Gewicht weight		G	typ. 520	g
Kriechstrecke creepage distance			32	mm
Feuchteklassierung humidity classification	DIN 40040		C	
Schwingfestigkeit vibration resistance	f = 50Hz		50	m/s <sup>2</sup>

Mit dieser technischen Information werden Halbleiterbauelemente spezifiziert, jedoch keine Eigenschaften zugesichert. Sie gilt in Verbindung mit den zugehörigen Technischen Erläuterungen./ The technical Information specifies semiconductors devices but promises no characteristics. It is valid in combination with the belonging technical notes.

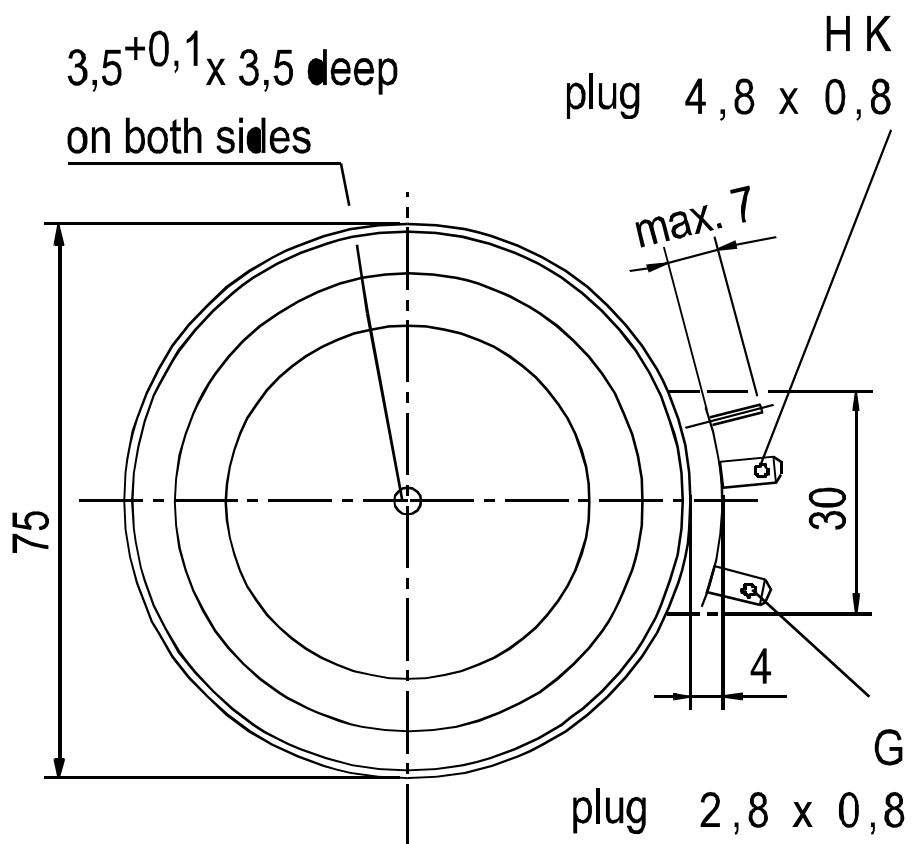
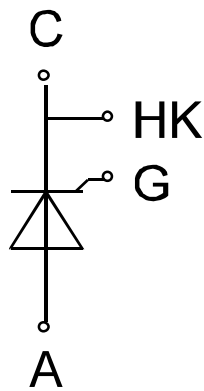
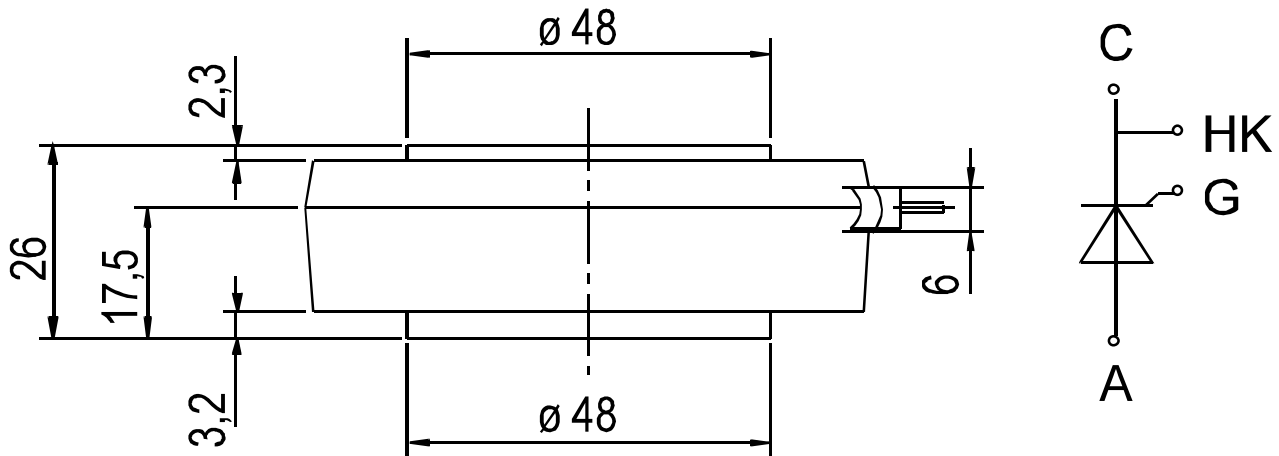
# Technische Information / Technical Information

Netz-Thyristor  
Phase Control Thyristor

**eupc**

T 1039 N 18 ... 22

N



# Technische Information / Technical Information

Netz-Thyristor  
Phase Control Thyristor

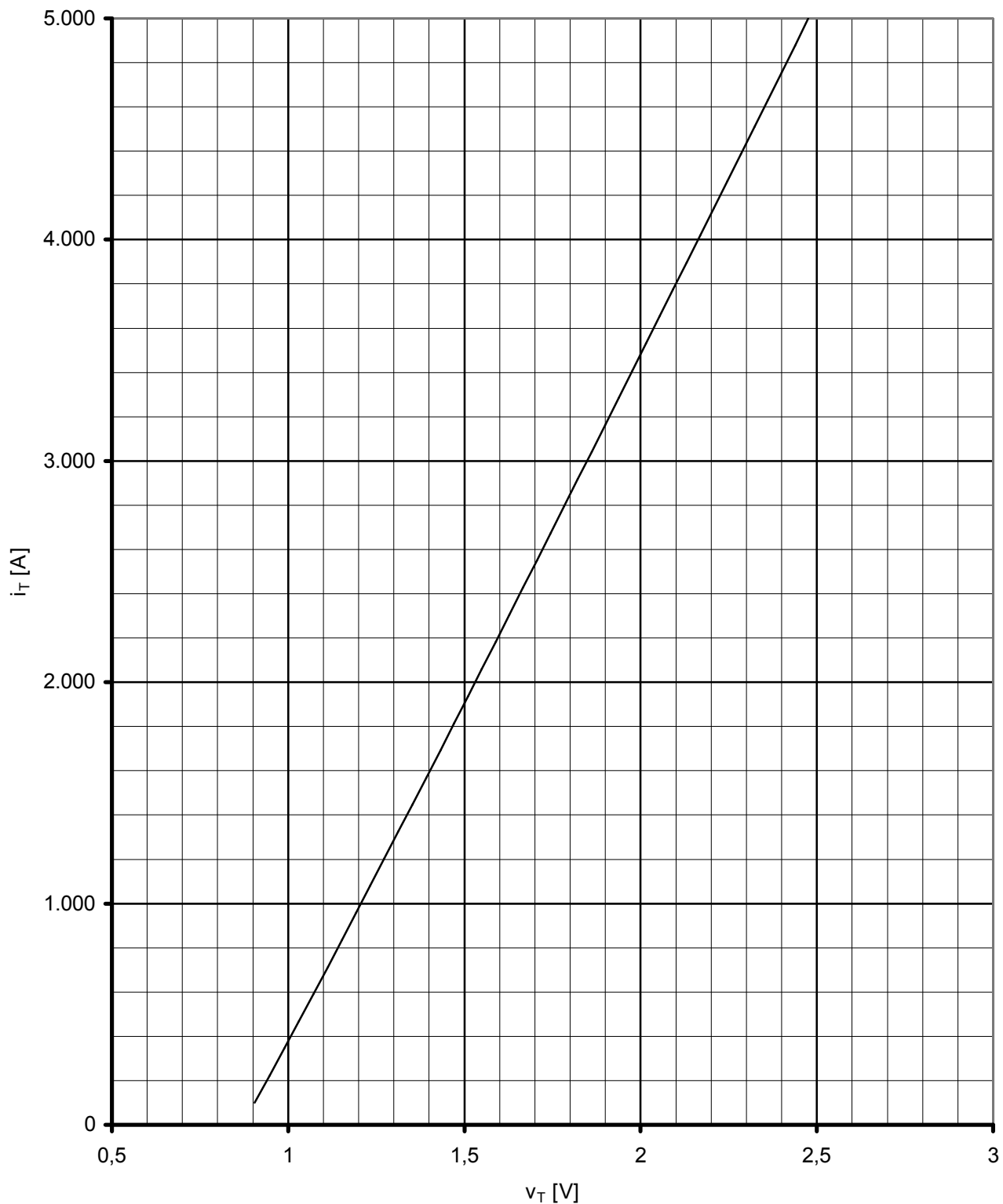
T 1039 N 18...22

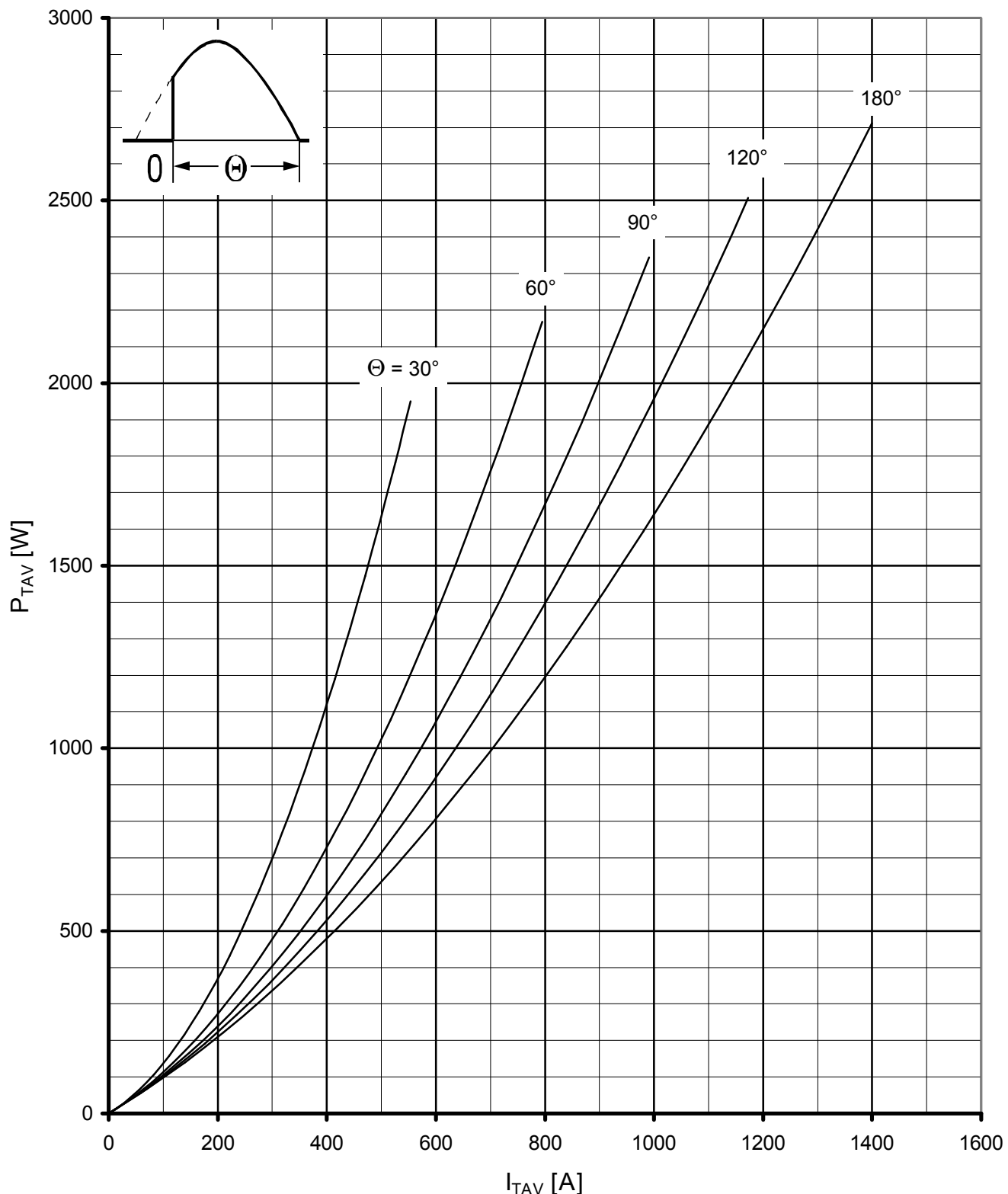
**eupc**

N

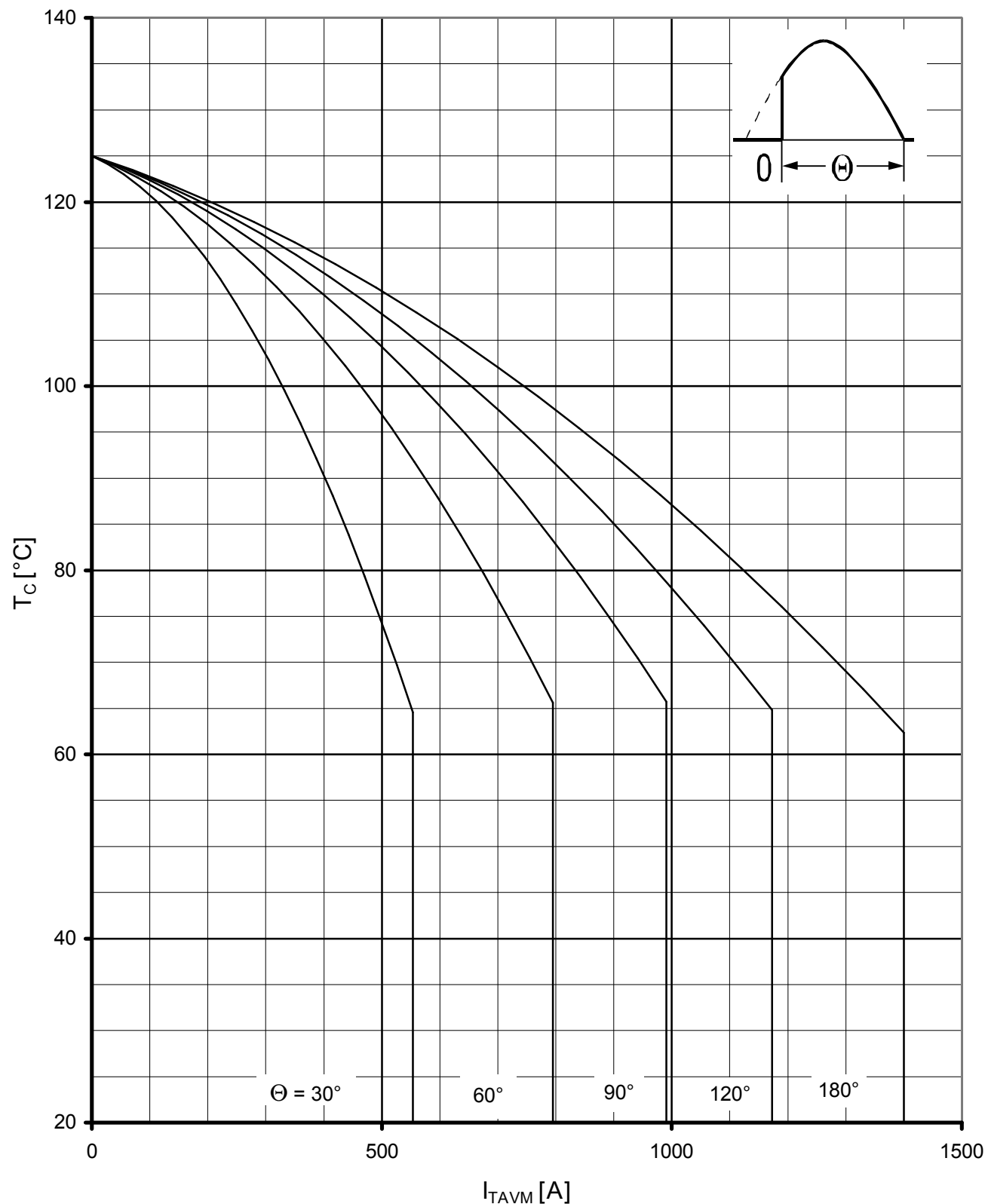


Kühlung cooling	Analytische Elemente des transienten Wärmewiderstandes $Z_{thJC}$ für DC Analytical elements of transient thermal impedance $Z_{thJC}$ for DC							
	Pos.n	1	2	3	4	5	6	7
beidseitig two-sided	$R_{thn}$ [°C/W]	0,00113	0,0021	0,00229	0,00703	0,00845		
	$\tau_n$ [s]	0,00189	0,0065	0,0456	0,23	1,134		
anodenseitig anode-sided	$R_{thn}$ [°C/W]	0,00066	0,00291	0,0037	0,00783	0,0224		
	$\tau_n$ [s]	0,00138	0,00614	0,0765	0,374	6,66		
kathodenseitig cathode-sided	$R_{thn}$ [°C/W]	0,00127	0,0026	0,00623	0,0046	0,0333		
	$\tau_n$ [s]	0,00201	0,00843	0,126	0,57	7,83		
Analytische Funktion / analytical function : $Z_{thJC} = \sum_{n=1}^{n_{\max}} R_{thn} (1 - \text{EXP}(-t / \tau_n))$								

Grenzdurchlaßkennlinie / Limiting On-state characteristic  $i_T = f(v_T)$  $T_{vj} = T_{vj\ max}$



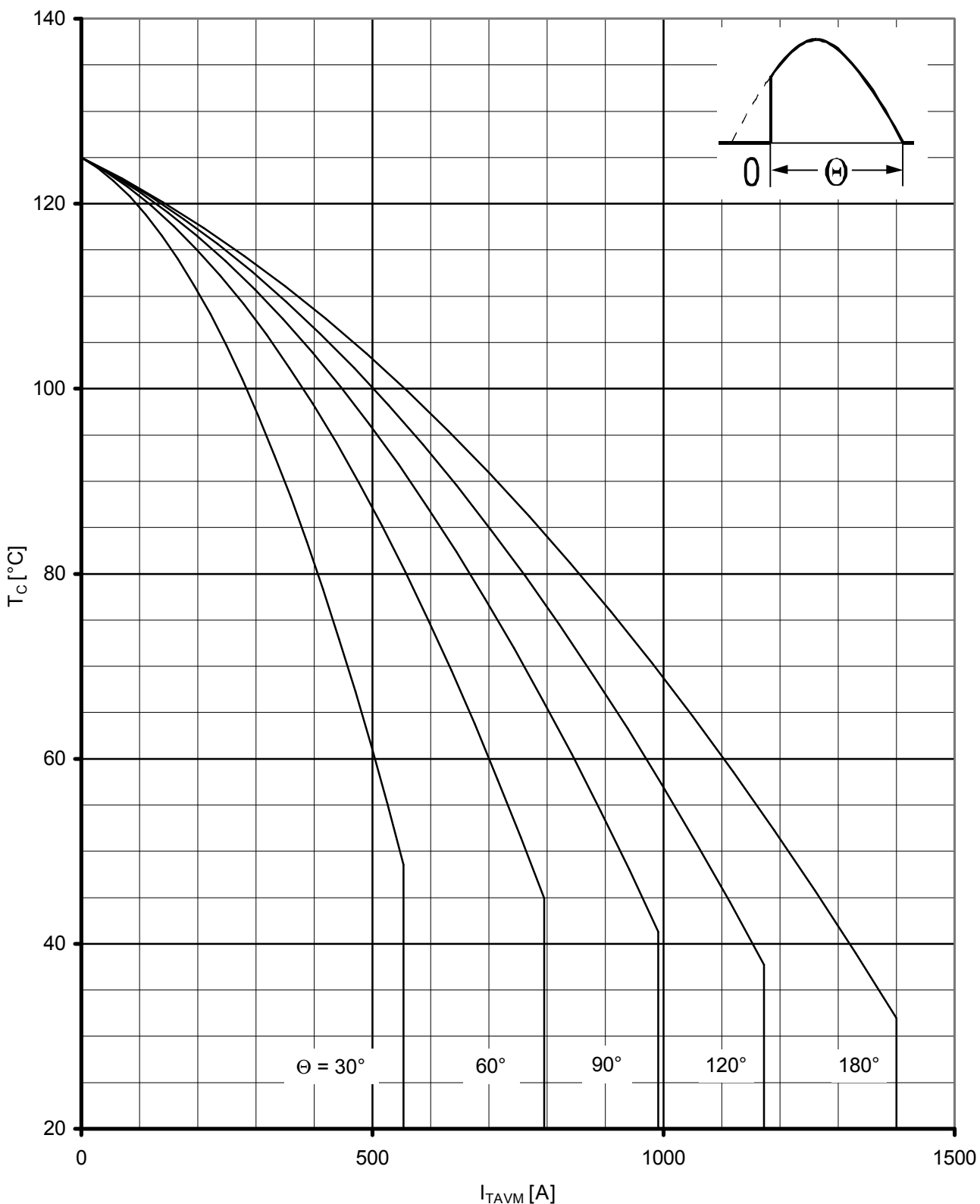
Durchlaßverlustleistung / On-state power loss  $P_{TAV} = f(I_{TAV})$   
Parameter: Stromflußwinkel  $\Theta$  / current conduction angle  $\Theta$



Höchstzulässige Gehäusetemperatur / Maximum allowable case temperature  $T_c = f(I_{TAVM})$

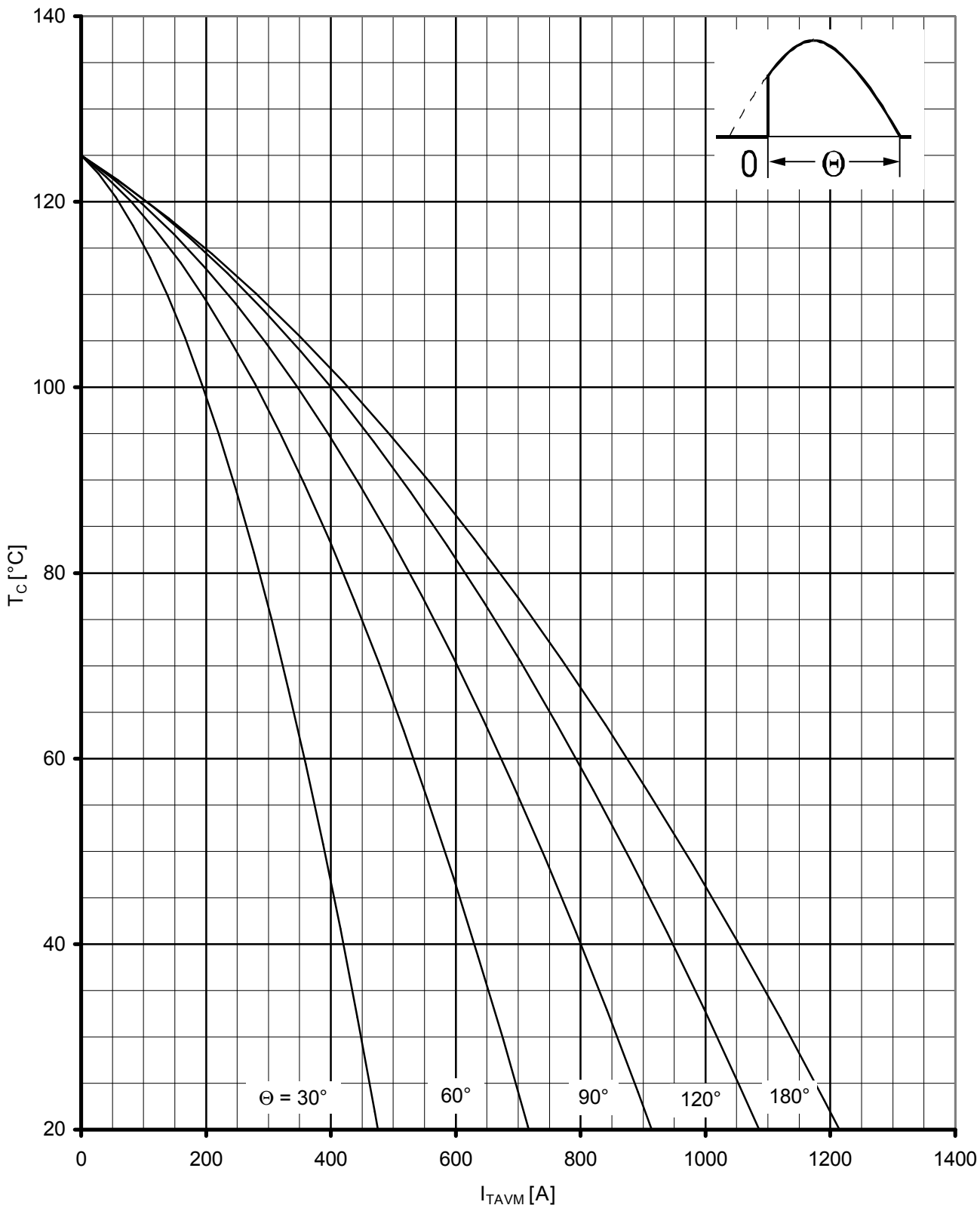
Beidseitige Kühlung / Two-sided cooling

Parameter: Stromflußwinkel  $\Theta$  / current conduction angle  $\Theta$

Höchstzulässige Gehäusetemperatur / Maximum allowable case temperature  $T_c = f(I_{TAVM})$ 

Anodenseitige Kühlung / anode sided cooling

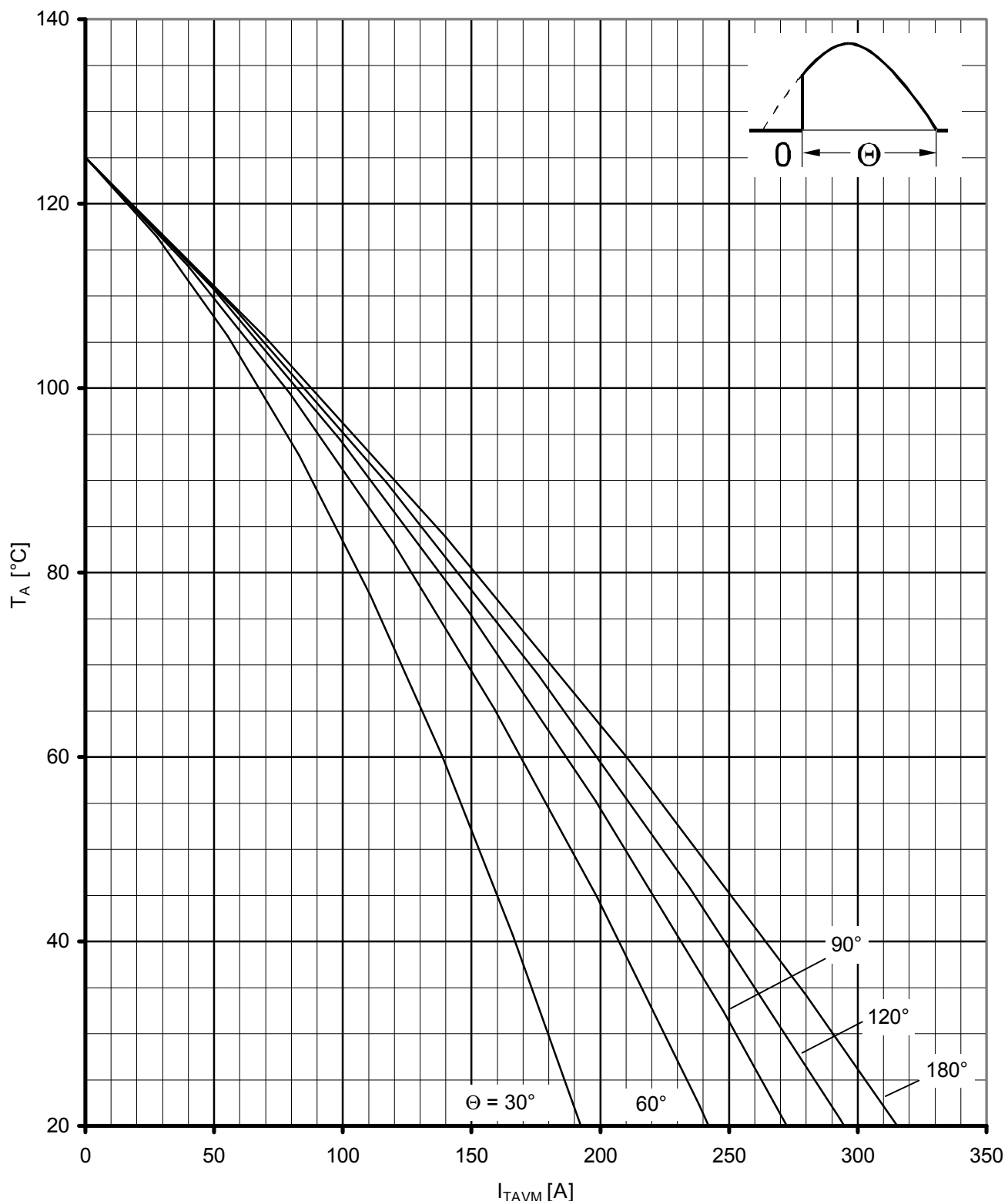
Parameter: Stromflußwinkel  $\Theta$  / current conduction angle  $\Theta$



Höchstzulässige Gehäusetemperatur / Maximum allowable case temperature  $T_c = f(I_{TAVM})$

Kathodenseitige Kühlung / cathode sided cooling

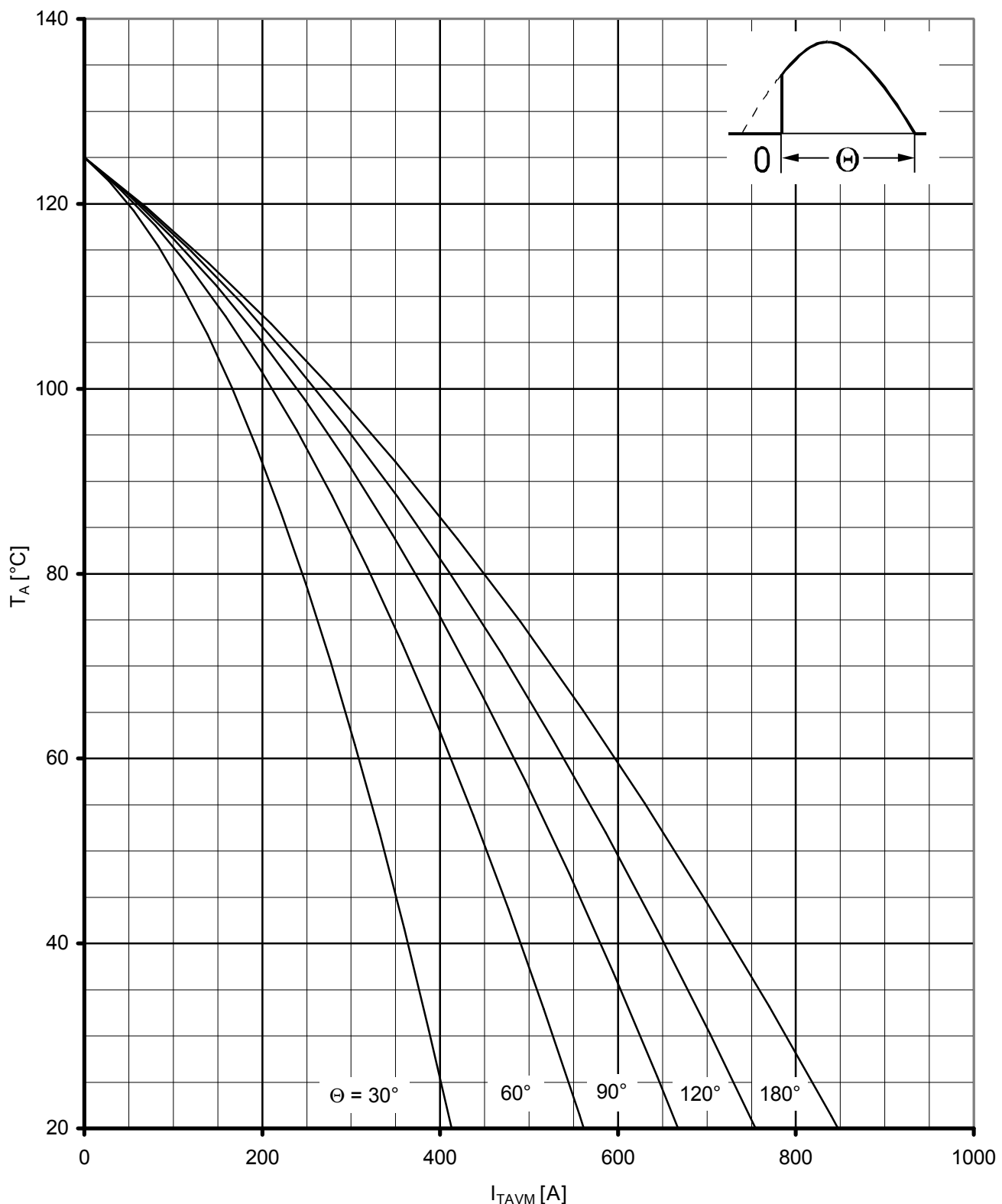
Parameter: Stromflußwinkel  $\Theta$  / current conduction angle  $\Theta$

Höchstzulässige Kühlmitteltemperatur / Max. allowable cooling medium temperature  $T_A = f(I_{TAVM})$ 

Luftselbstkühlung / Natural air-cooling

Kühlkörper/Heatsink. K0.05 F

Parameter: Stromflußwinkel  $\Theta$  / current conduction angle  $\Theta$

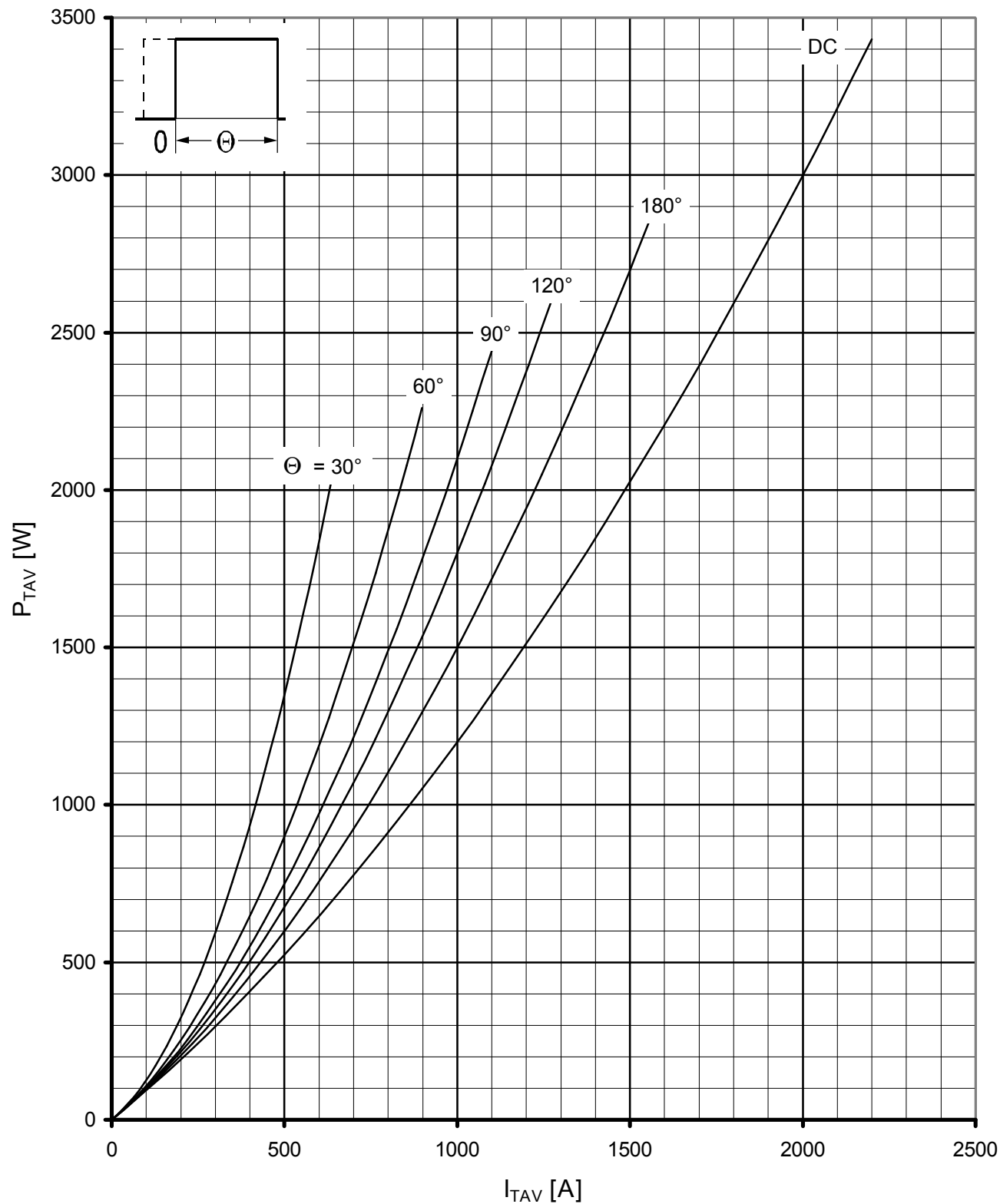


Höchstzulässige Kühlmitteltemperatur / Max. allowable cooling medium temperature  $T_A = f(I_{TAVM})$

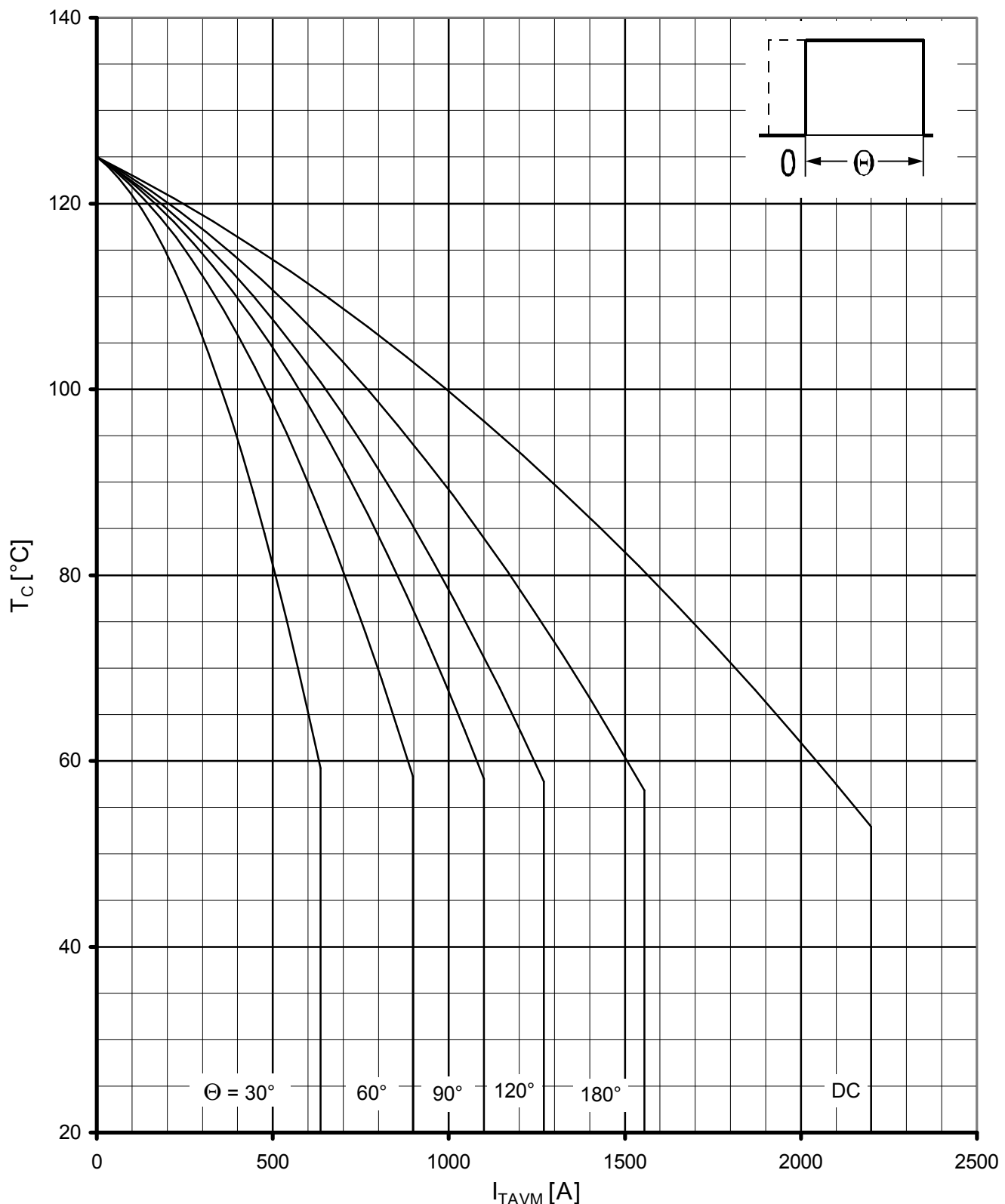
Verstärkte Luftkühlung / Forced air-cooling

Kühlkörper/Heatsink, K0.05 F,  $V_L = 120$  l/s

Parameter: Stromflußwinkel  $\Theta$  / current conduction angle  $\Theta$



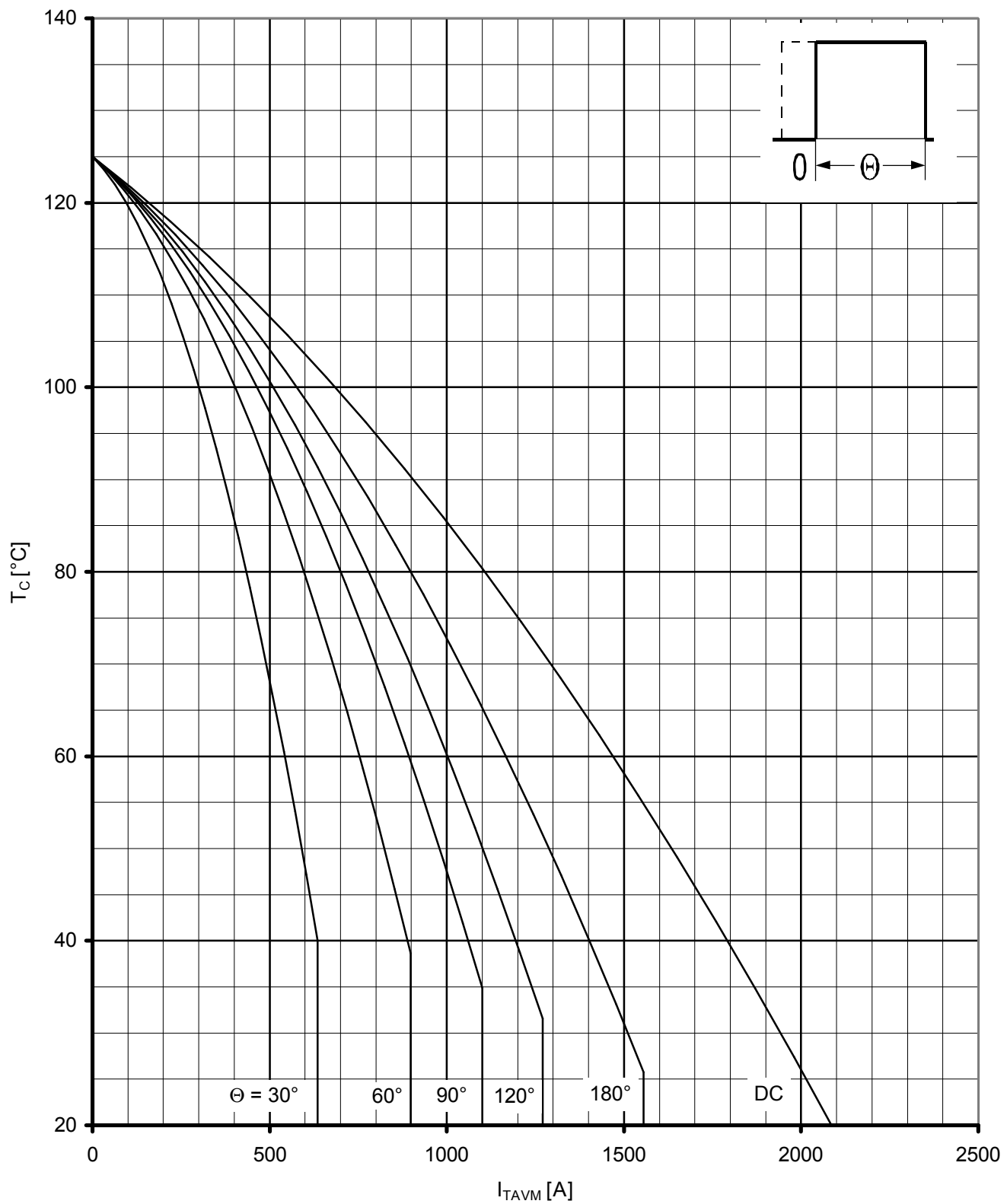
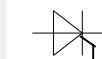
Durchlaßverlustleistung / On-state power loss  $P_{TAV} = f(I_{TAV})$   
Parameter: Stromflußwinkel  $\Theta$  / current conduction angle  $\Theta$



Höchstzulässige Gehäusetemperatur / Maximum allowable case temperature  $T_c = f(I_{TAVM})$

Beidseitige Kühlung / Two-sided cooling

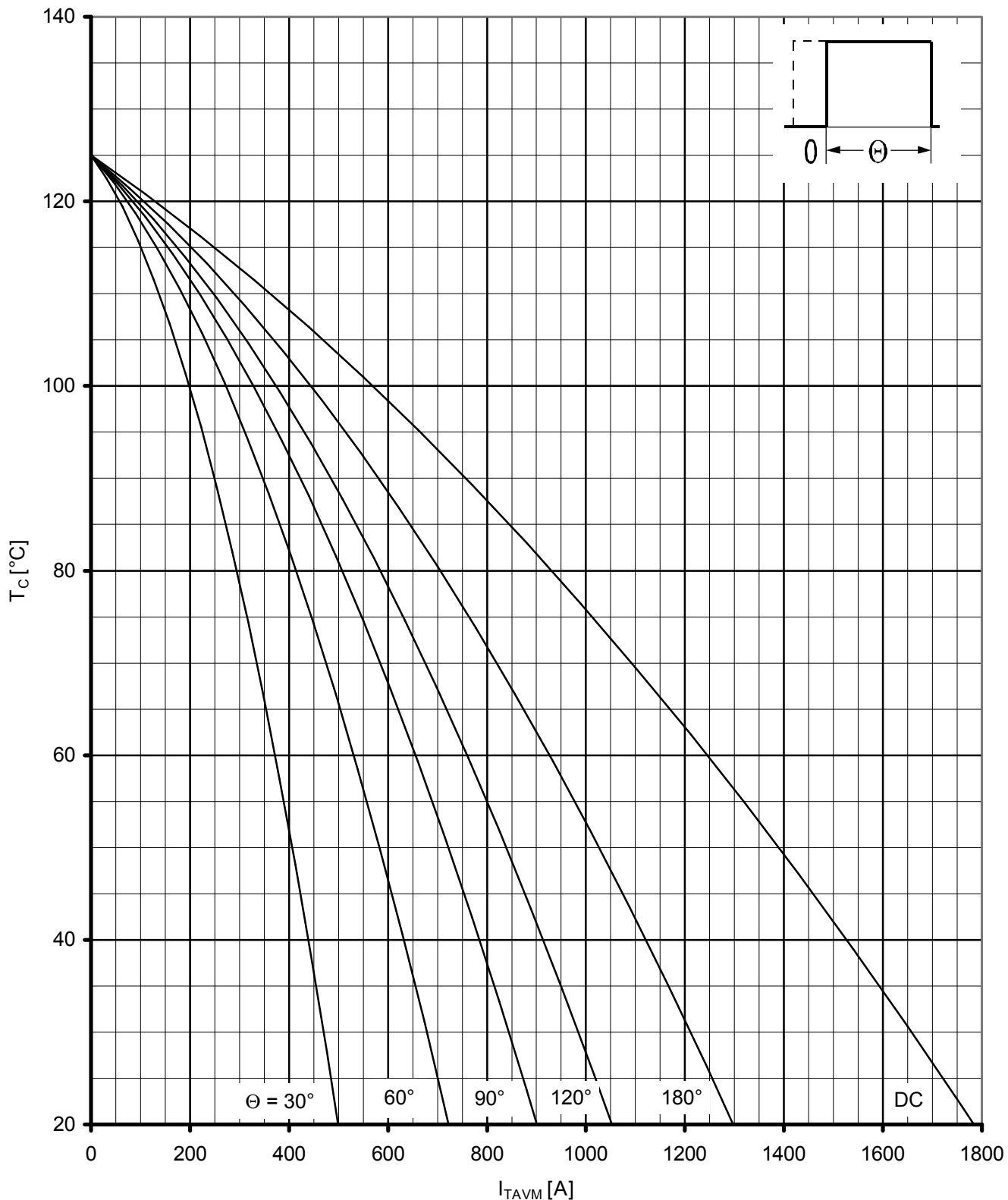
Parameter: Stromflußwinkel  $\Theta$  / current conduction angle  $\Theta$



Höchstzulässige Gehäusetemperatur / Maximum allowable case temperature  $T_c = f(I_{TAVM})$

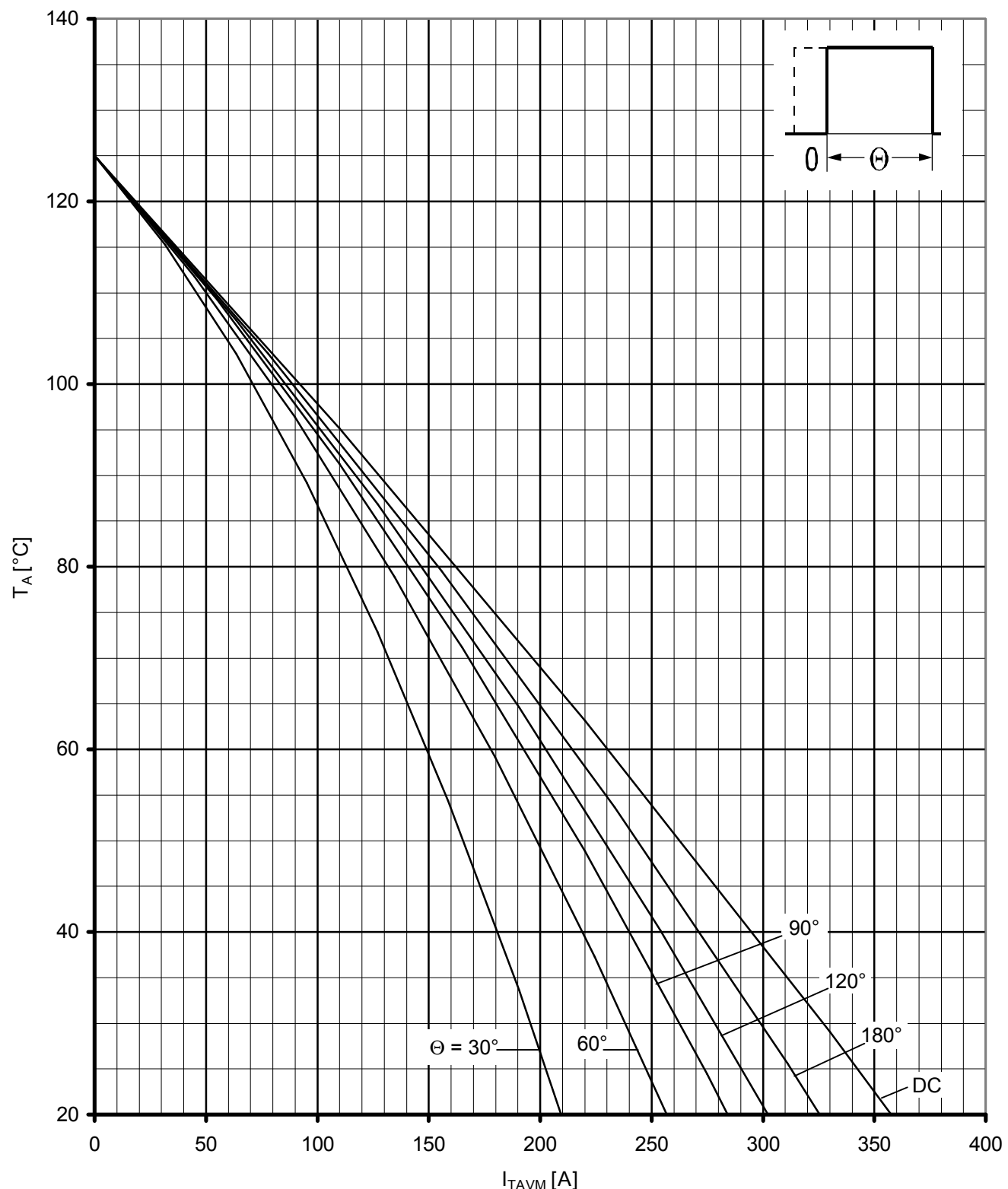
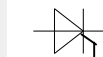
Anodenseitige Kühlung / anode sided cooling

Parameter: Stromflußwinkel  $\Theta$  / current conduction angle  $\Theta$

Höchstzulässige Gehäusetemperatur / Maximum allowable case temperature  $T_c = f(I_{TAVM})$ 

Kathodenseitige Kühlung / cathode sided cooling

Parameter: Stromflußwinkel  $\Theta$  / current conduction angle  $\Theta$

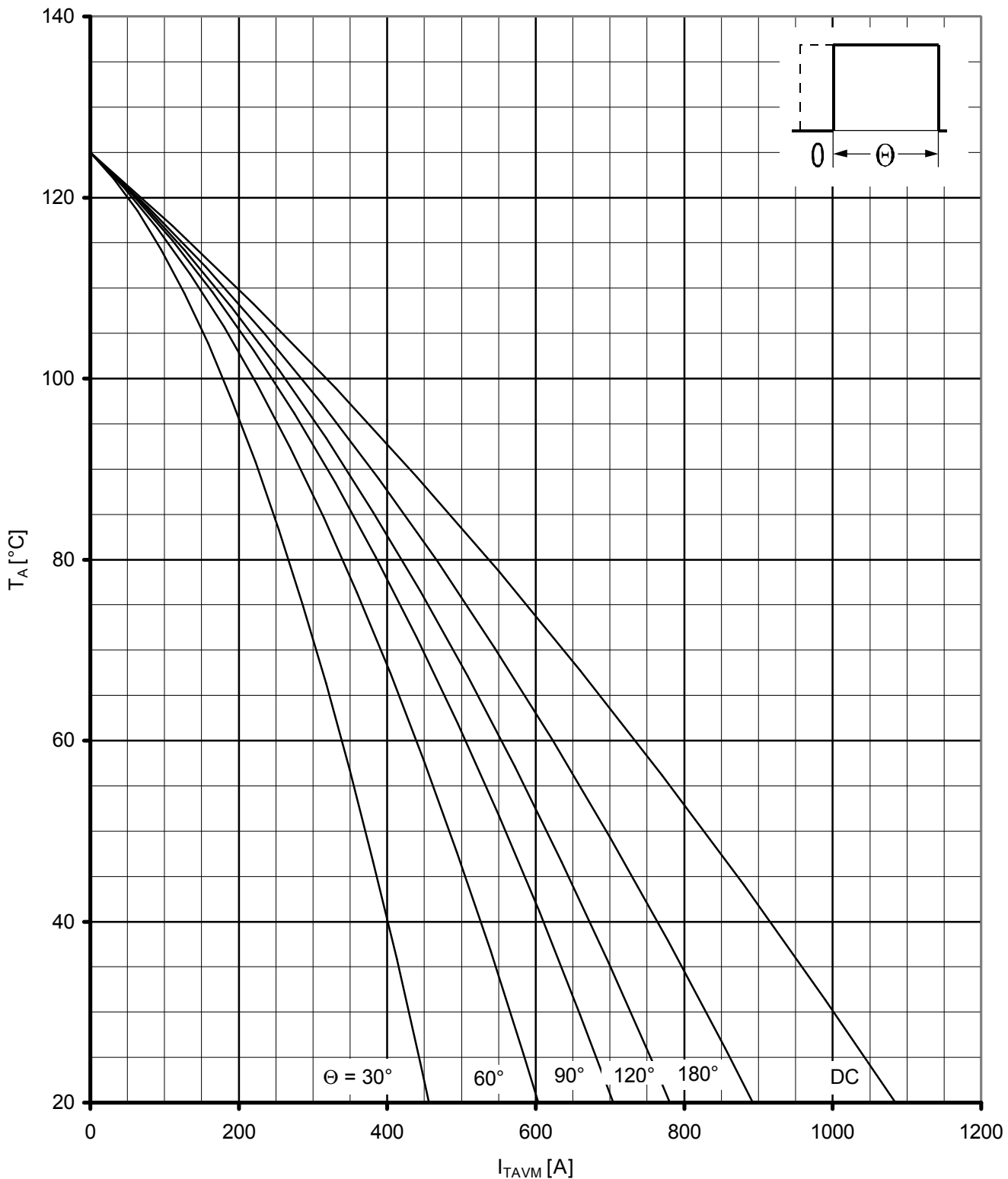
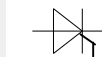


Höchstzulässige Kühlmitteltemperatur / Max. allowable cooling medium temperature  $T_A = f(I_{TAVM})$

Luftselbstkühlung / Natural air-cooling

Kühlkörper/Heatsink. K0.05 F

Parameter: Stromflußwinkel  $\Theta$  / current conduction angle  $\Theta$

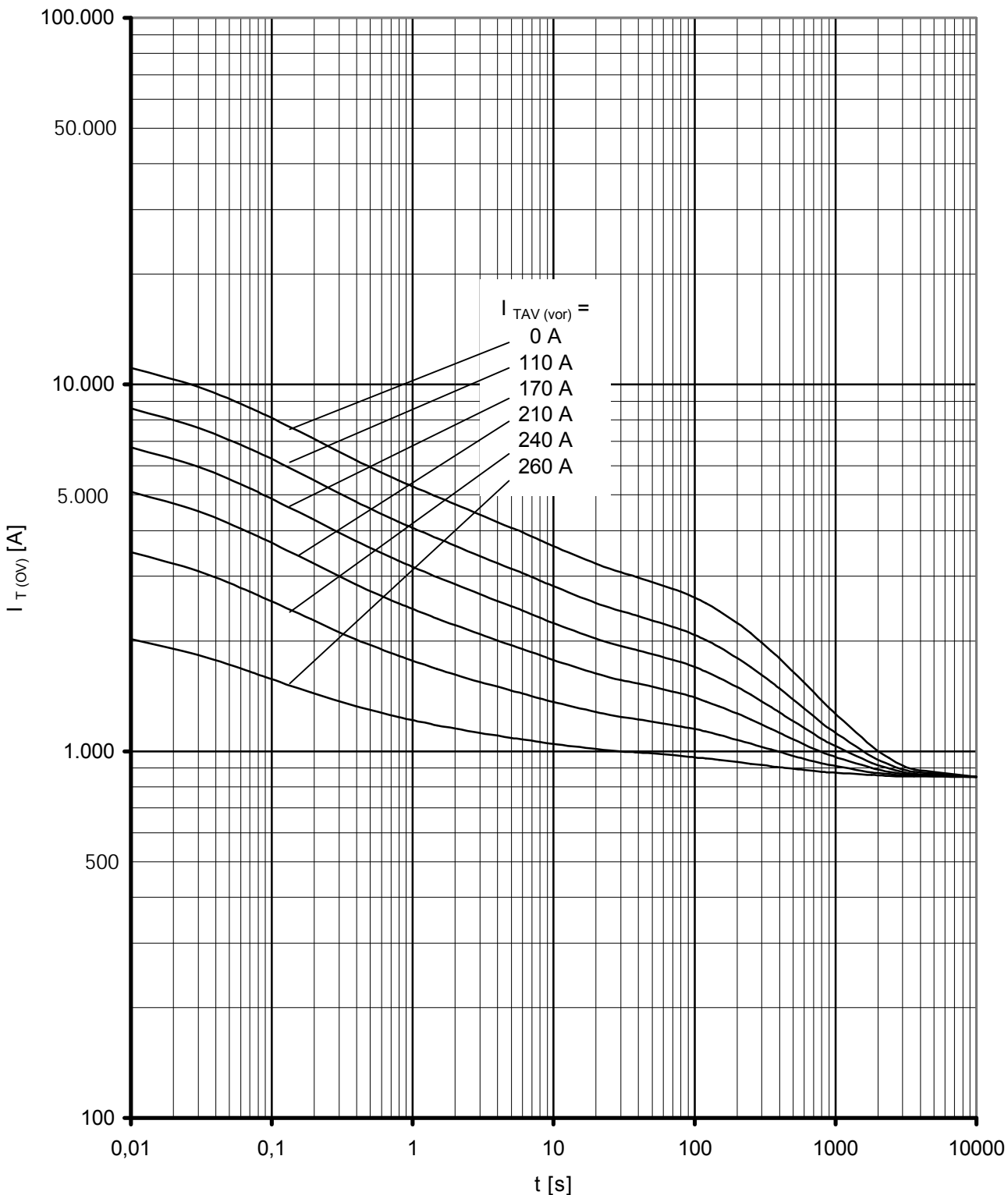


Höchstzulässige Kühlmitteltemperatur / Max. allowable cooling medium temperature  $T_A = f(I_{TAVM})$

Verstärkte Luftkühlung / Forced air-cooling

Kühlkörper/Heatsink. K0.05F,  $V_L = 120$  l/s

Parameter: Stromflußwinkel  $\Theta$  / current conduction angle  $\Theta$

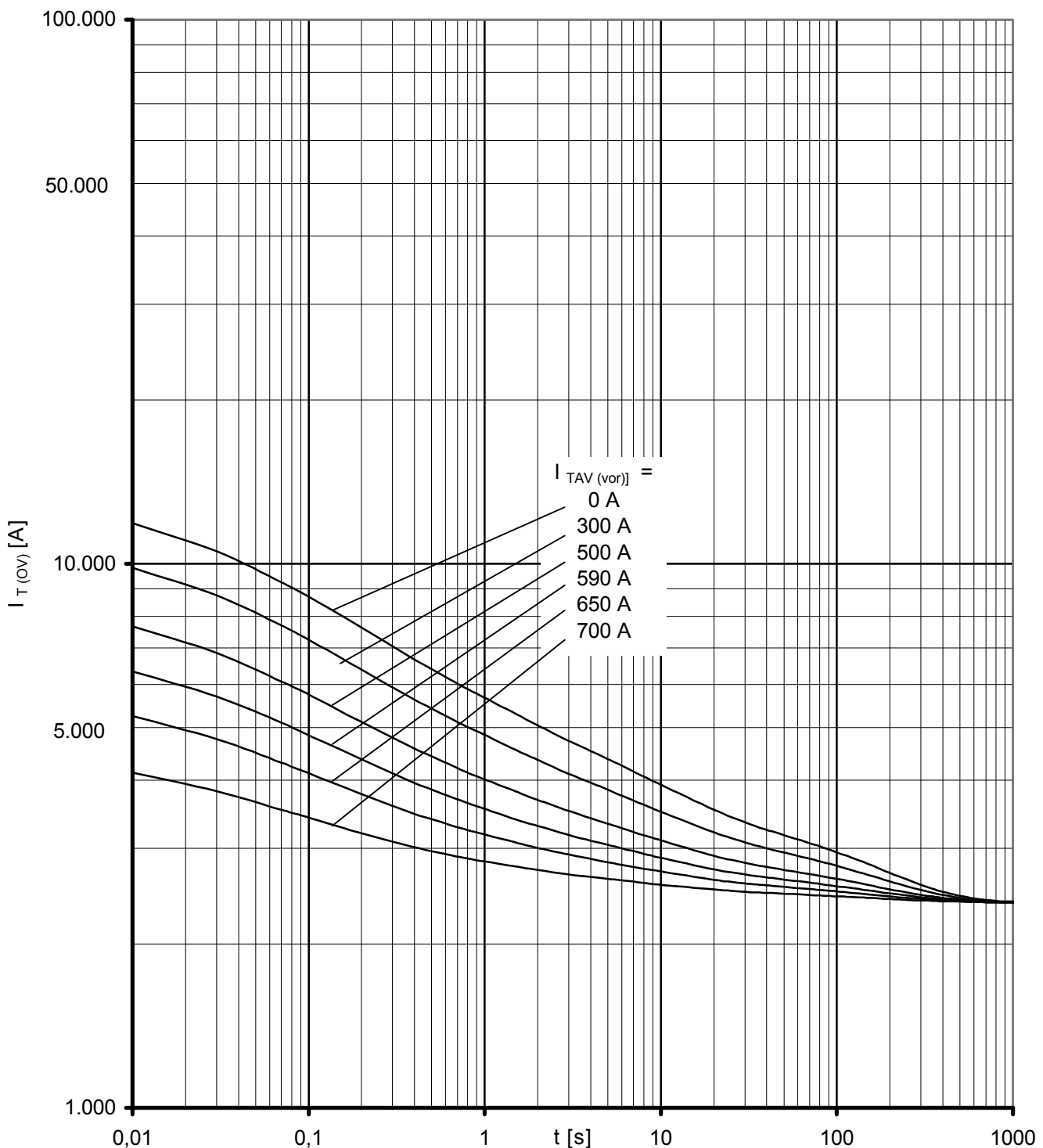


Überstrom / Overload on-state current  $I_{T(OV)} = f(t)$

Beidseitige Luftsselfkühlung / Two-sided natural cooling K0.05F

$T_A = 45^\circ\text{C}$

Parameter: Vorlaststrom  $I_{TAV(vor)}$  / pre-load current  $I_{TAV(vor)}$

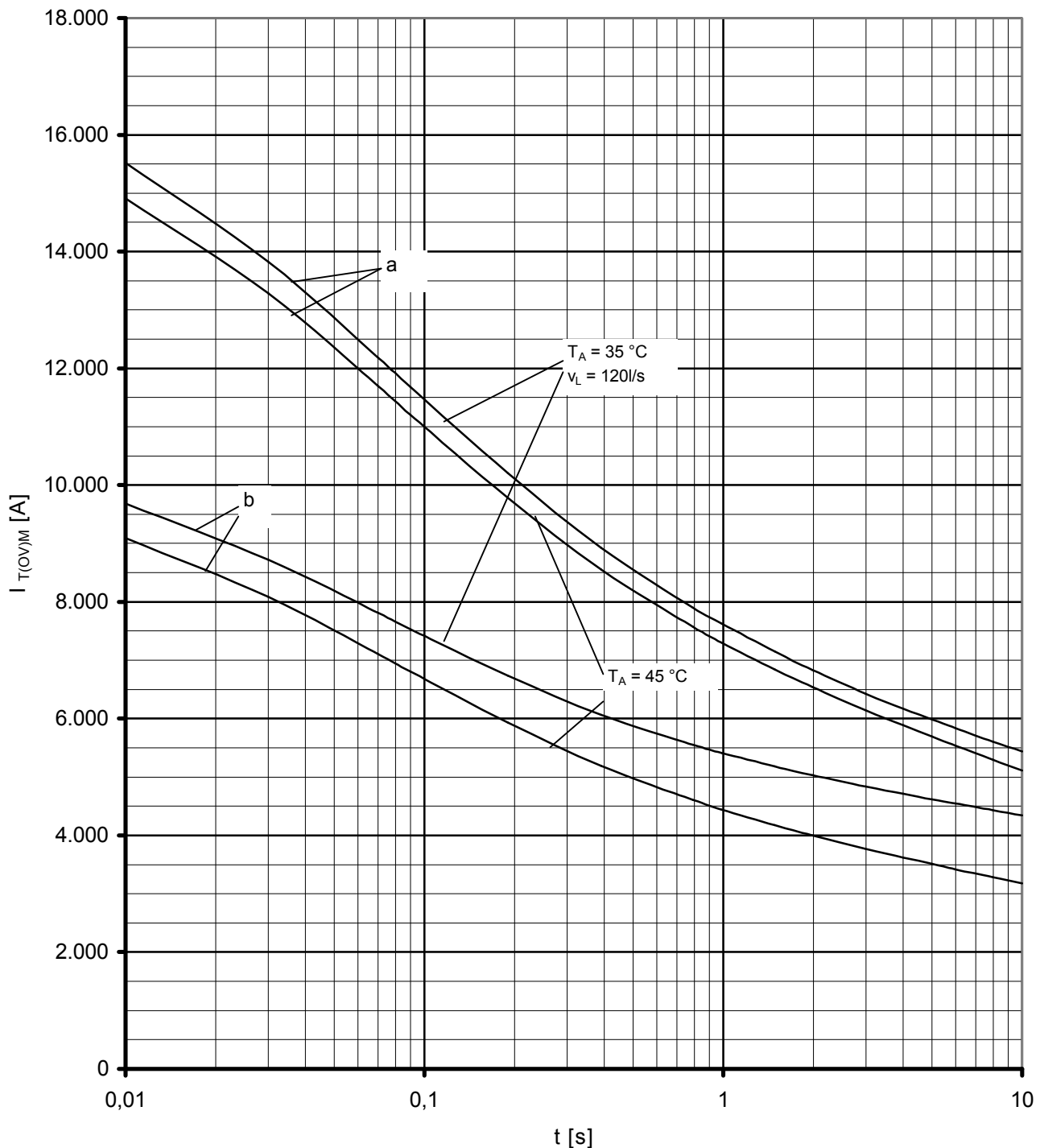


Überstrom / Overload on-state current  $I_{T(OV)} = f(t)$

Beidseitige verstärkte Kühlung / forced two-sided cooling K0.05F

$T_A = 35^\circ\text{C}$ ,  $V_L = 120 \text{ V}/\text{s}$

Parameter: Vorlaststrom  $I_{TAV(vor)}$  / pre-load current  $I_{TAV(vor)}$



Grenzstrom / Max. overload on-state current  $I_{T(OV)M} = f(t)$ ,  $v_{RM} = 0,8 V_{RRM}$

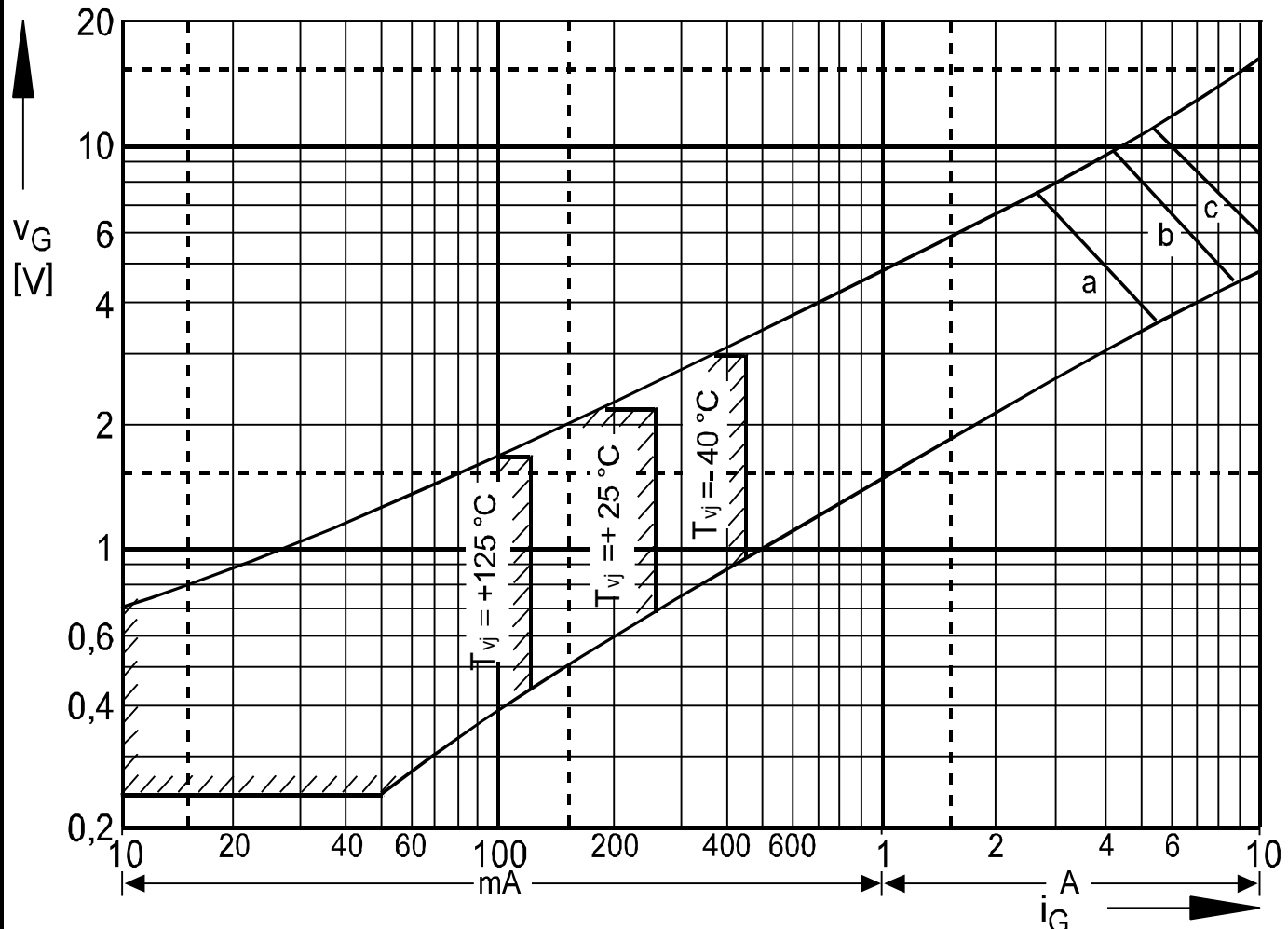
Beidseitige Kühlung / Two-sided cooling

Kühlkörper / Heatsink: K 0.05F

Belastung aus / Surge current occurs:

a - Leerlauf / No-load conditions

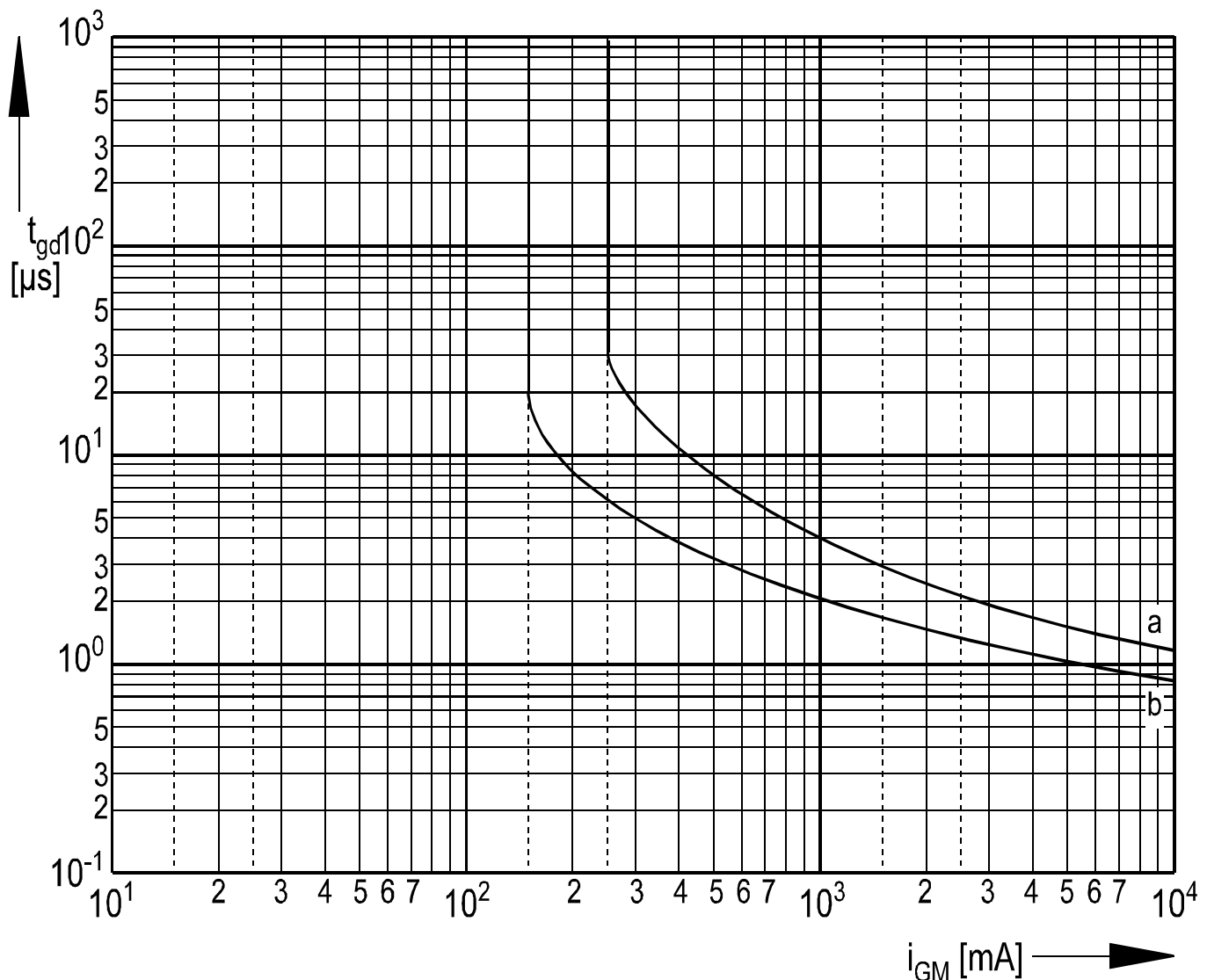
b - Betrieb mit Dauergrenzstrom  $I_{TAVM}$  / During operation at max. average on-state current  $I_{TAVM}$



Steuercharakteristik  $v_G = f(i_G)$  mit Zündbereichen für  $V_D = 6\text{ V}$   
 Gate characteristic  $v_G = f(i_G)$  with triggering area for  $V_D = 6\text{ V}$

Höchstzulässige Spitzensteuerverlustleistung / Maximum rated peak gate power dissipation  $P_{GM} = f(t_g)$ :

a - 20 W/10ms   b - 40 W/1ms   c - 60 W/0,5ms

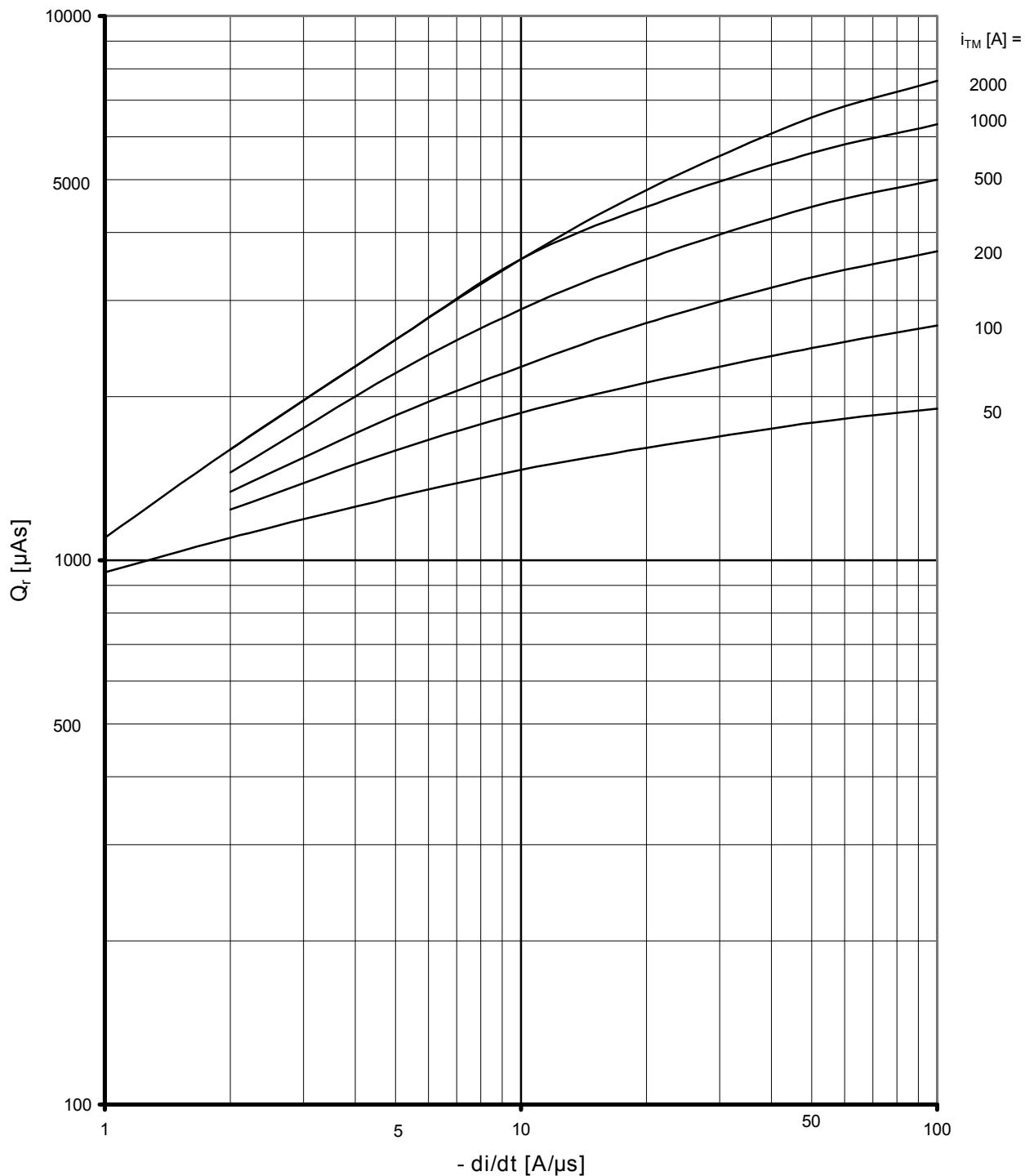


Zündverzug / Gate controlled delay time  $t_{gd} = f(i_{GM})$

$T_{vj} = 25^\circ\text{C}$ ,  $di_G/dt = i_{GM}/1\mu\text{s}$

a - maximaler Verlauf / limiting characteristic

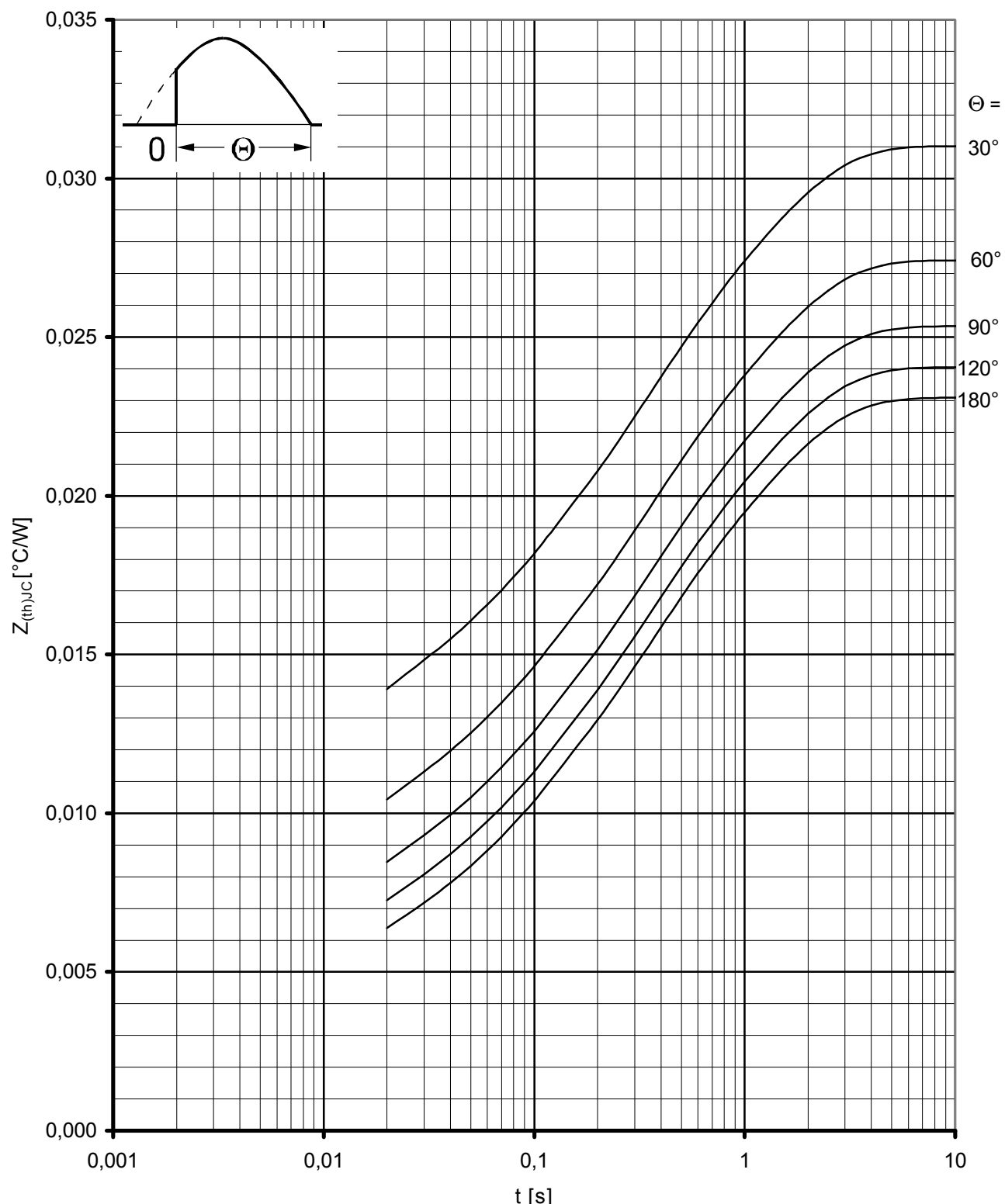
b - typischer Verlauf / typical characteristic



Sperrverzögerungsladung / Recovered charge  $Q_r = f(-di/dt)$

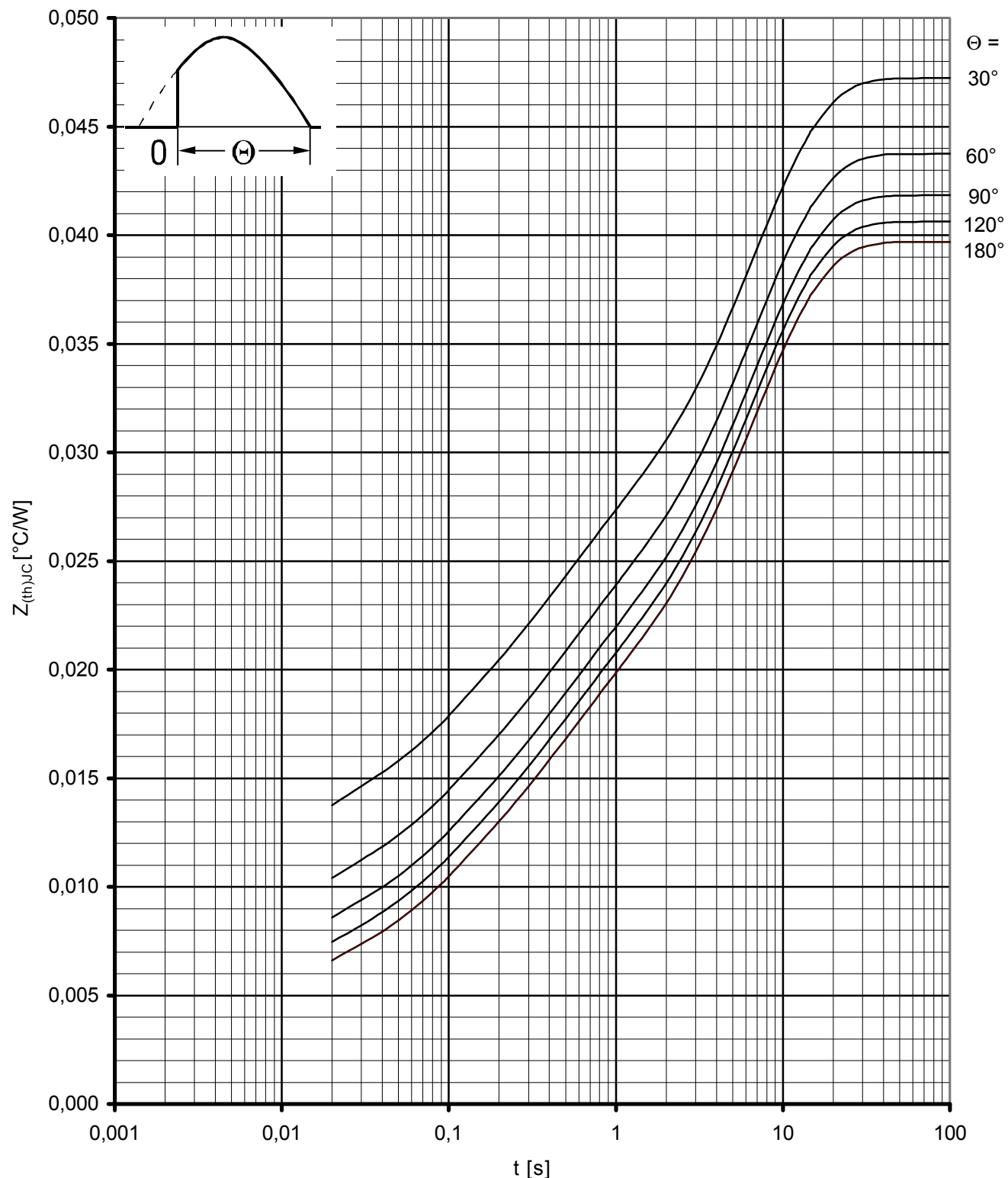
$T_{vj} = T_{vj \max}$ ,  $v_R = 0,5 V_{RRM}$ ,  $v_{RM} = 0,8 V_{RRM}$

Parameter: Durchlaßstrom  $i_{TM}$  / On-state current  $i_{TM}$

Transienter innerer Wärmewiderstand / Transient thermal impedance  $Z_{(th)JC} = f(t)$ 

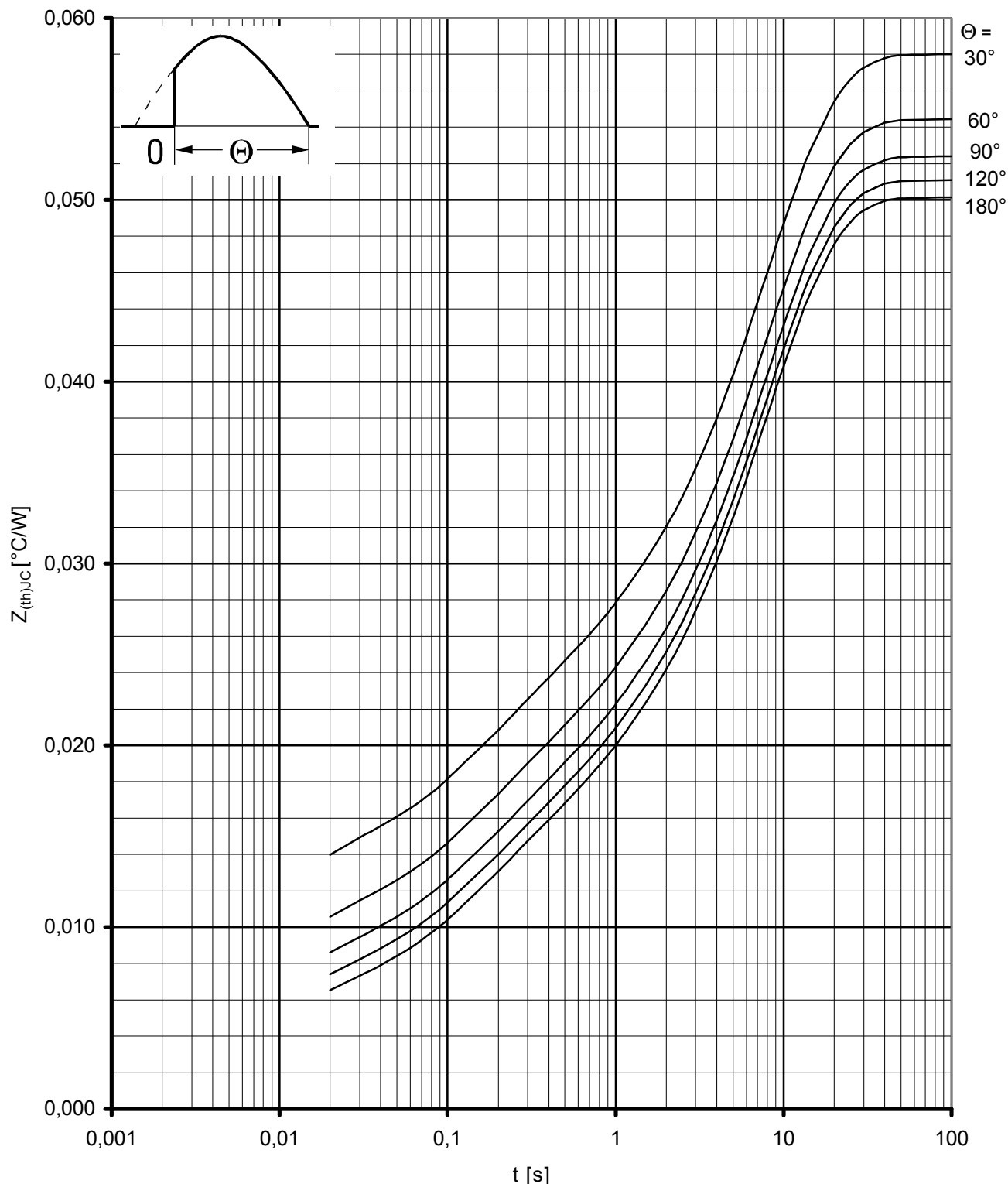
Beidseitige Kühlung / Two-sided cooling

Parameter: Stromflußwinkel  $\Theta$  / current conduction angle  $\Theta$

Transienter innerer Wärmewiderstand / Transient thermal impedance  $Z_{(th)JC} = f(t)$ 

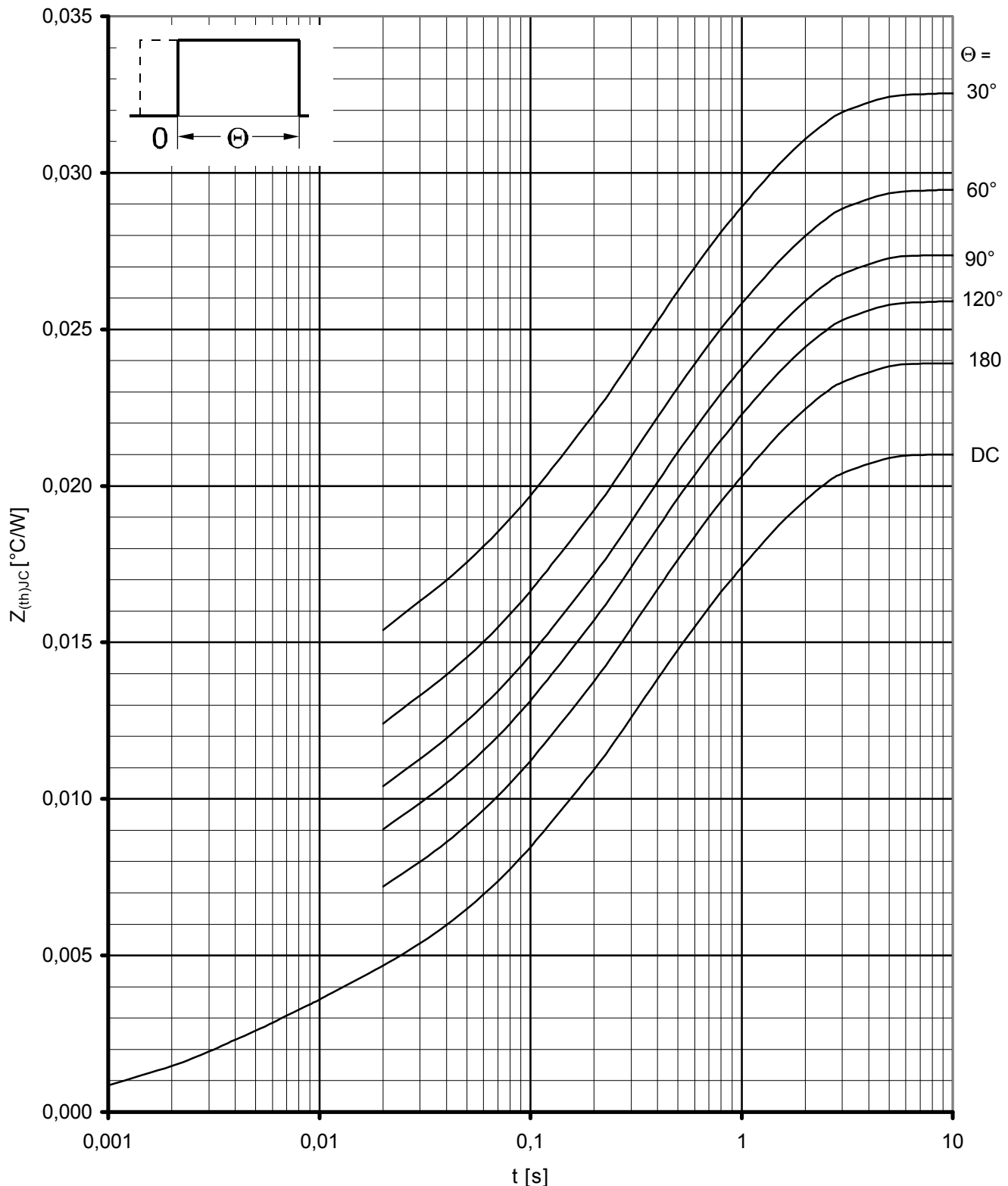
Anodenseitige Kühlung / Anode-sided cooling

Parameter: Stromflußwinkel  $\Theta$  / current conduction angle  $\Theta$

Transienter innerer Wärmewiderstand / Transient thermal impedance  $Z_{(th)JC} = f(t)$ 

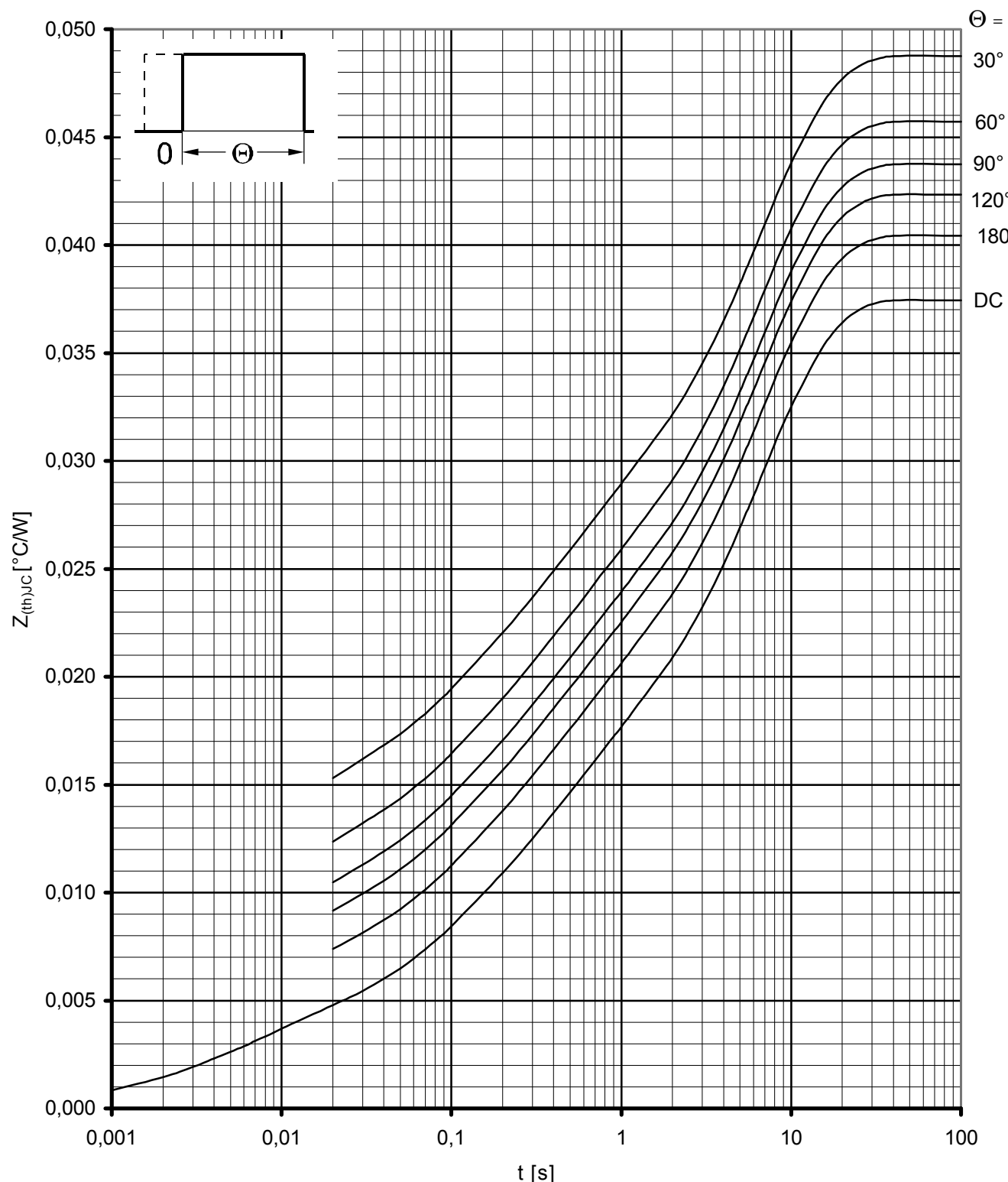
Kathodenseitige Kühlung / Cathode-sided cooling

Parameter: Stromflußwinkel  $\Theta$  / current conduction angle  $\Theta$

Transienter innerer Wärmewiderstand / Transient thermal impedance  $Z_{(th)JC} = f(t)$ 

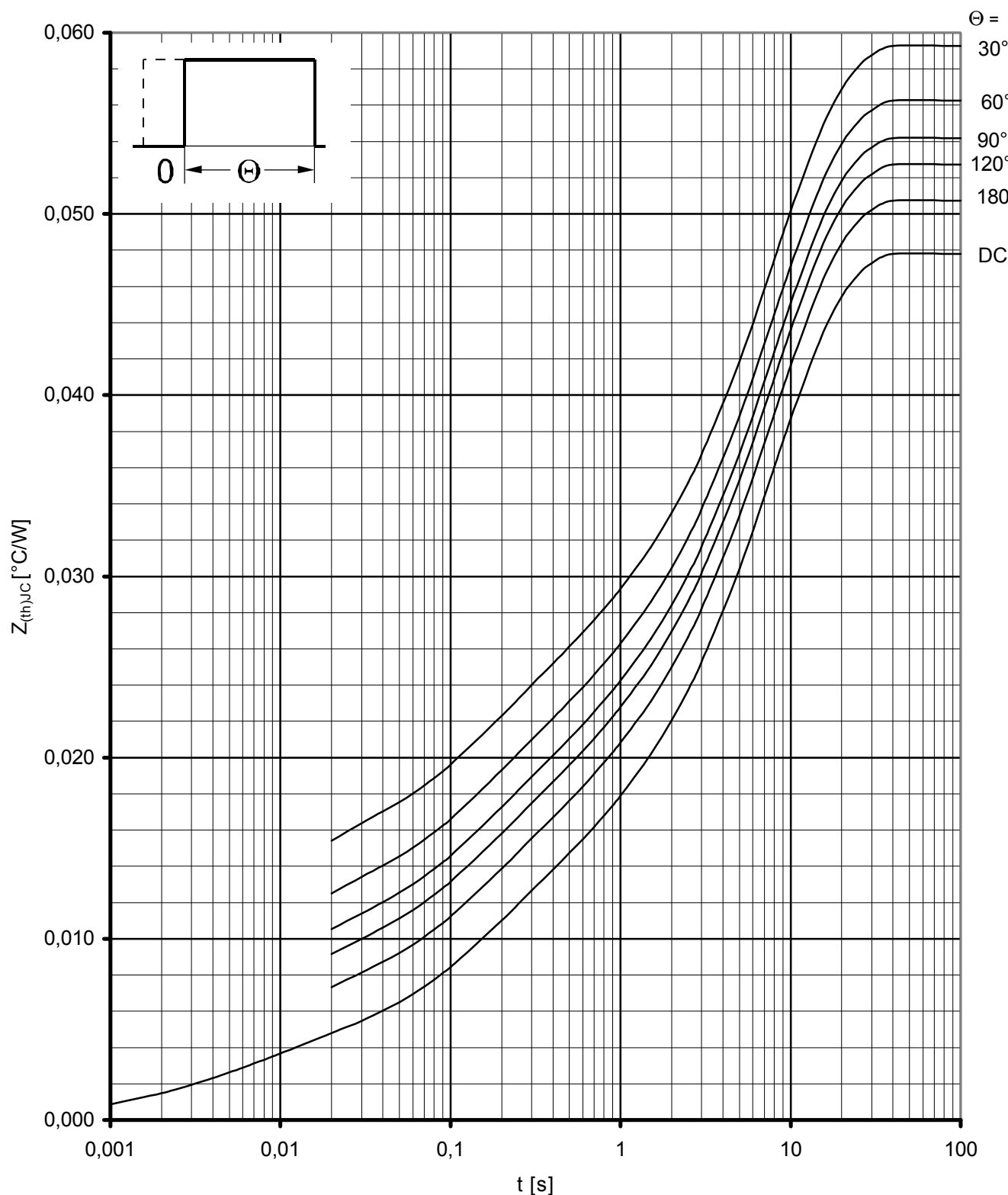
Beidseitige Kühlung / Two-sided cooling

Parameter: Stromflußwinkel  $\Theta$  / current conduction angle  $\Theta$

Transienter innerer Wärmewiderstand / Transient thermal impedance  $Z_{(th)JC} = f(t)$ 

Anodenseitige Kühlung / Anode-sided cooling

Parameter: Stromflußwinkel  $\Theta$  / current conduction angle  $\Theta$



Transienter innerer Wärmewiderstand / Transient thermal impedance  $Z_{(th)JC} = f(t)$

Kathodenseitige Kühlung / Cathode-sided cooling

Parameter: Stromflußwinkel  $\Theta$  / current conduction angle  $\Theta$

## **Terms & Conditions of Usage**

### **Attention**

The present product data is exclusively subscribed to technically experienced staff. This Data Sheet is describing the specification of the products for which a warranty is granted exclusively pursuant the terms and conditions of the supply agreement. There will be no guarantee of any kind for the product and its specifications. Changes to the Data Sheet are reserved.

You and your technical departments will have to evaluate the suitability of the product for the intended application and the completeness of the product data with respect to such application. Should you require product information in excess of the data given in the Data Sheet, please contact your local Sales Office via "[www.eupec.com](http://www.eupec.com) / sales & contact".

### **Warning**

Due to technical requirements the products may contain dangerous substances. For information on the types in question please contact your local Sales Office via "[www.eupec.com](http://www.eupec.com) / sales & contact".